

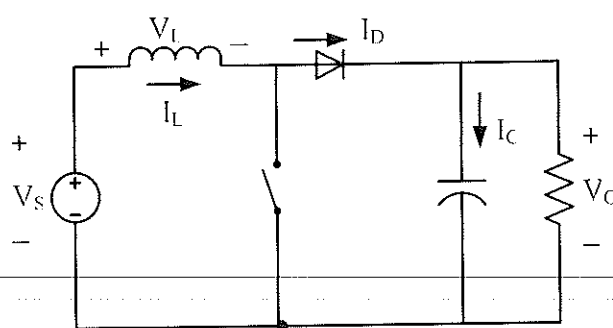
บทที่ 3 การวิเคราะห์และการออกแบบวงจร

การออกแบบชุดวงจรจุลทรรศน์อ่อนโน้มยณาสำหรับแหล่งจ่ายพลังงานแสงอาทิตย์ โดยใช้หม้อแปลงฟลายแบ็ค เครื่องรับโทรศัพท์ ผู้วิจัยได้นำเอาหลักการ ของวงจรแปลงผันแรงดันไฟตรง (Converter circuit) คือ วงจรบูสต์คอนเวอร์เตอร์ที่ทำหน้าที่สร้างแรงดันไฟสูงขึ้นและจ่ายให้กับส่วนของวงจรฟลายแบ็ค ซึ่งผู้วิจัยได้ประยุกต์โดยการนำอาฟลายแบ็คของเครื่องรับโทรศัพท์มาเป็นหม้อแปลงสวิตช์ซึ่งเพื่อสร้างแรงดันไฟฟ้าให้สูงขึ้นเพื่อจ่ายให้กับแหล่งนีอ่อนโน้มยณา การควบคุมความถี่ในการสวิตช์จะแยกกันในส่วนของแต่ละวงจรให้สามารถปรับความถี่ในการสวิตช์และอัตราส่วนหน้าที่ (duty ratio) เพื่อให้เกิดความหมายสมกับขนาดและแสดงถึงของหลอดนีอ่อนโน้มยณา

การวิเคราะห์วงจรแปลงผันกำลังสามารถใช้หลักการของความสมดุลแรงดัน-วินาทีสมดุลของตัวเหนี่ยวนำร่วมกับความสมดุลประจุของตัวเก็บประจุมิวิเคราะห์การทำงานของวงจรแปลงผันกำลังที่ทำงานในโหมดไม่ต่อเนื่องและโหมดต่อเนื่อง ซึ่งในที่นี้ผู้วิจัยเองจะวิเคราะห์การทำงานของแต่ละส่วนของชุดวงจรจุลทรรศน์อ่อนโน้มยณาสำหรับแหล่งจ่ายพลังงานแสงอาทิตย์โดยใช้หม้อแปลงฟลายแบ็คเครื่องรับโทรศัพท์ เนื่องจากจะทำให้เข้าใจได้ง่ายขึ้น

3.1 การวิเคราะห์วงจรบูสต์ คอนเวอร์เตอร์

วงจรส่วนแรกของชุดวงจรจุลทรรศน์อ่อนโน้มยณาสำหรับแหล่งจ่ายพลังงานแสงอาทิตย์โดยใช้หม้อแปลงฟลายแบ็คเครื่องรับโทรศัพท์จะเป็นวงจรบูสต์ คอนเวอร์เตอร์ ดังแสดงในรูปที่ 3.1



รูปที่ 3.1 แสดงวงจรบูสต์ คอนเวอร์เตอร์

การวิเคราะห์การทำงานของวงจรบูสต์ค่อนເວອຣ໌ເຕອຣ໌ໃນช่วงสภาวะอยู่ตัว จะมีการกำหนดเงื่อนไขใน การทำงานของวงจรบูสต์ค่อนເວອຣ໌ເຕອຣ໌ เพื่อให้ง่ายต่อการวิเคราะห์ดังนี้

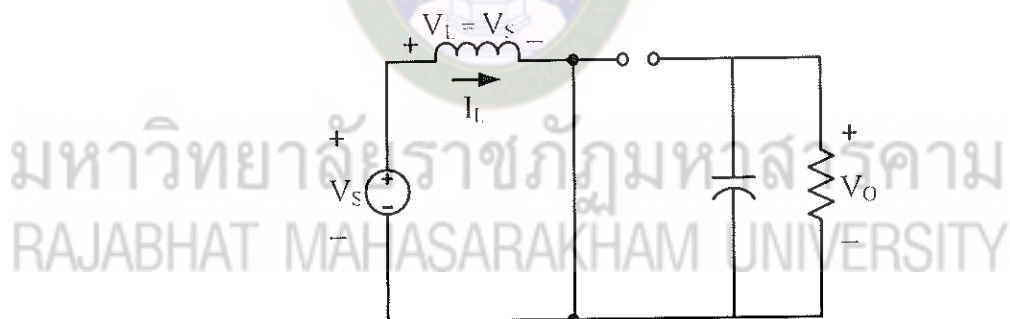
1. กระแสไฟฟ้าที่ไหลผ่านตัวเหนี่ยวนำ ดำเนินร่วมเดียวกันในแต่ละКАบ จะมีค่าเท่ากัน และมีค่าเป็นบวกเสมอ

2. แรงดันไฟฟ้าเฉลี่ยต่อกรุณตัวเหนี่ยวนำในแต่ละКАบจะเท่ากับศูนย์ หมายถึงผลรวม ของผลคูณระหว่างแรงดันไฟฟ้าต่อกรุณตัวหนี่ยวนำกับเวลา ในแต่ละKAบจะเท่ากับศูนย์

3. ตัวเก็บประจุมีขนาดใหญ่เพียงพอให้แรงดันไฟฟ้าด้านนอกมีค่าคงที่
4. กำลังไฟฟ้าด้านเข้าเท่ากับกำลังไฟฟ้าด้านออก กรณีไม่คำนึงถึงการสูญเสียเนื่องจาก การทำงานของวงจร โดยกำหนดให้อุปกรณ์ทุกตัวเป็นอุดมคติ ทำให้สามารถสรุปได้ว่า ประสิทธิภาพ ของวงจรเป็นหนึ่งร้อยเปอร์เซ็นต์

3.1.1 ขณะสวิตช์นำกระแส

จากรูปที่ 3.1 กระแสไฟฟ้าจ่ายไฟฟ้ากระแสตรงจะไหลผ่านตัวหนี่ยวนำโดยผ่านสวิตช์ ขณะเดียวกัน ได้โอดจะถูกไบแอดซัมบลับทำให้ไม่สามารถนำกระแสไฟได้ ดังรูปที่ 3.2 จากกฎของเคนอร์ขอฟี จะได้ สมการของแรงดันไฟฟ้า ดังนี้



รูปที่ 3.2 แสดงวงจรสมมูลเมื่อสวิตช์นำกระแส

$$-V_s + v_L = 0 \quad (3.1)$$

$$v_L = V_s = L \frac{di}{dt} \quad (3.2)$$

$$\frac{di}{dt} = \frac{V_s}{L}$$

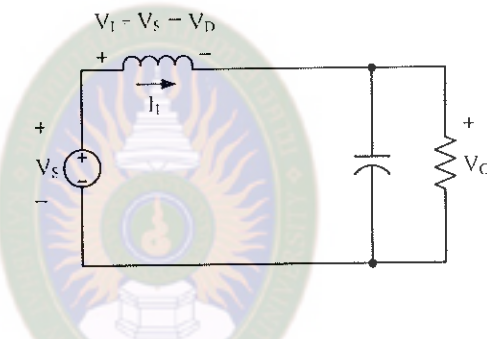
ขณะที่สวิตช์นำกระแส $dt = DT$ เมื่ออัตราการเปลี่ยนแปลงของกระแสคงที่ อาจจะถือว่าการเพิ่มของกระแสไฟฟ้าเป็นเชิงเส้น ทำให้สามารถคำนวณได้จาก

$$\frac{\Delta i_L}{\Delta t} = \frac{\Delta i}{DT} = \frac{V_s}{L} \quad (3.3)$$

$$\Delta i_{L, \text{on}} = \frac{V_s DT}{L} \quad (3.4)$$

$\Delta i_{L, \text{on}}$ หมายถึง อัตราการเปลี่ยนแปลงของกระแสไฟฟ้าในตัวหน่วยเวลาขณะสวิตช์นำกระแส

3.1.2.1 ขณะสวิตช์ไม่นำกระแส



รูปที่ 3.3 แสดงวงจรสมบูรณ์เมื่อสวิตช์ไม่นำกระแส

เมื่อสวิตช์ไม่นำกระแส กระแสไฟฟ้าในตัวหน่วยเวลาจะเป็นเชิงเส้นทันทีทัน刻ไม่ได้ ได้โดยจะถูกนำไปแอลไฟฟาน้ำใจนำกระแส ทำให้กระแสไฟฟ้าไหลผ่านตัวหน่วยเวลาอย่างต่อเนื่อง สมมติ แรงดันไฟฟ้าที่ด้านออกมีค่าคงที่ จากกฎของเคอร์ซอฟฟ์จะได้สมการของแรงดันไฟฟ้าที่ตอกคร่อง ตัวหน่วยเวลาดังนี้

$$-V_s + V_L + V_o = 0 \quad (3.5)$$

$$V_L = V_s - V_o$$

$$V_L = L \frac{di}{dt}$$

$$\frac{di_L}{dt} = \frac{V_s - V_o}{L} \quad (3.6)$$

ขณะสวิตช์ไม่นำกระแส $dt = (1 - D)T$ อัตราการเปลี่ยนแปลงของกระแสไฟฟ้าที่โหลดผ่านตัวหน่วยเวลาเป็นเชิงเส้น และจะถือว่าการลดลงของกระแสเป็นเชิงเส้น ทำให้สามารถคำนวณ

$$\Delta i_{L,off} = \left(\frac{V_s V_o}{L} \right) (1 - D) T \quad (3.7)$$

ที่สภาวะอยู่ตัว การเปลี่ยนแปลงของกระแสไฟฟ้าที่ไหลผ่านตัวเหนี่ยวนำสุทธิมีค่าเท่ากับศูนย์ จากสมการที่ (3.4) และสมการที่ (3.7) จะได้ว่า

$$\Delta i_{L,on} = \Delta i_{L,off} = 0 \quad (3.8)$$

$$\left(\frac{V_s}{L} \right) DT + \frac{(V_s - V_o)(1 - D)T}{L} = 0 \quad (3.9)$$

$$V_s D + (V_s - V_o)(1 - D) = 0$$

$$V_s D + V_s - V_s D - V_o + V_o D = 0$$

$$V_s - V_o (1 - D) = 0$$

$$\frac{V_o}{V_s} = \frac{1}{1 - D} \quad (3.10)$$

จากการหาความสัมพันธ์ของอัตราส่วนของแรงดันไฟฟ้าด้านนอกต่อแรงดันไฟฟ้าด้านเข้าที่เรียกว่า อัตราการขยายแรงดัน สามารถหาได้โดยวิธีง่ายๆ โดยใช้สมการแรงดันไฟฟ้าดังสมการที่ (3.10) ดังนี้

$$V_{L,on} = v_{L,on}(t_{on}) + v_{L,off}(t_{off}) = 0 \quad (3.11)$$

จากสมการที่ (3.2)
และจากสมการที่ (3.6)

$$v_{L,on} = V_s$$

$$v_{L,off} = V_s - V_o$$

$$V_{L,on} = (V_s)(t_{on}) + (V_s - V_o)(t_{off}) = 0$$

$$(V_s)(DT) + (V_s - V_o)(1 - D)T = 0$$

$$V_s D + (V_s - V_o)(1 - D) = 0$$

$$V_s D + V_s - V_s D - V_o + V_o + V_o D = 0$$

$$V_s - V_o (1 - D) = 0$$

$$\frac{V_o}{V_s} = \frac{1}{1 - D} \quad (3.12)$$

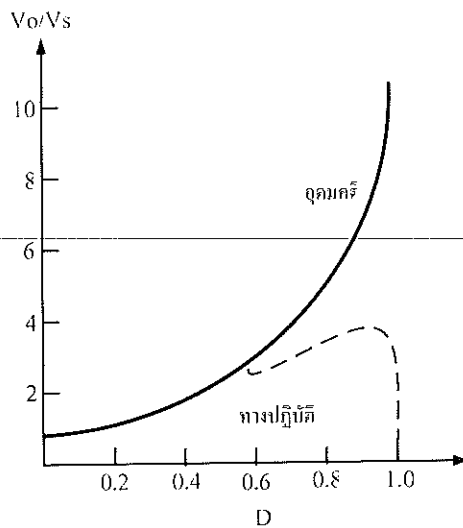
การได้มาซึ่งสมการอัตราส่วนของแรงดันไฟฟ้าด้านออกต่อแรงดันไฟฟ้าด้านเข้า จากสมการที่ (3.10) หรือสมการที่ (3.12) แท้จริงแล้วมีหลักการทำงานอันเดียวกัน ทำให้สามารถคำนวณค่าอัตราส่วนของแรงดันไฟฟ้าด้านออกต่อแรงดันไฟฟ้าด้านเข้าได้จากการปรับค่า D ดังแสดงในตารางที่ 3.1

ตารางที่ 3.1 อัตราขยายแรงดันของวงจรบูสต์ คอนเวอร์เตอร์ เมื่อมีการปรับเปลี่ยนค่า D

Duty ratio (D)	อัตราขยายแรงดัน (Voltage gain) (V_o/V_i)
0.0	1.00
0.1	1.10
0.2	1.25
0.3	1.43
0.4	1.67
0.5	2.00
0.6	2.50
0.7	3.33
0.8	5
0.9	10
1.0	Infinity

มหาวิทยาลัยราชภัฏมหาสารคาม RAJABHAT MAHASARAKHAM UNIVERSITY

จากราฟความสัมพันธ์ ในรูปที่ 3.4 เมื่อค่า D เพิ่มขึ้นค่าอัตราขยายแรงดันไฟฟ้าจะเพิ่มขึ้นแบบไม่เป็นเชิงเส้น ในทางปฏิบัตินิยนปรับอัตราการขยายแรงดันไฟฟ้าไม่เกิน 4 เท่า ทึ้งนี้เพื่อให้วงจรนิความเสถียรภาพ โดยอัตราการขยายแรงดันไฟฟ้าขึ้นต่ำสุดคือหนึ่งหรือแรงดันไฟฟ้าด้านออกเท่ากับกับแรงดันไฟฟ้าด้านเข้าในทางทฤษฎี แต่ในทางปฏิบัติแรงดันไฟฟ้าด้านออกจะน้อยกว่าแรงดันไฟฟ้าด้านเข้าเล็กน้อย เนื่องจากมีแรงดันไฟฟ้าตกร่องไคโอด และตัวอุปกรณ์สวิตช์



รูปที่ 3.4 แสดงความสัมพันธ์ระหว่างอัตราการขยายแรงดันกับ D

3.2 การหาค่าความหนี่ยวน้ำที่เลือกที่สุดของวงจรบูสต์ตอนเวอร์เตอร์

สมมติการสูญเสียภายในวงจรบูสต์ตอนเวอร์เตอร์มีค่าเท่ากับศูนย์ กำลังไฟฟ้าที่ออกจากแหล่งจ่าย กำลังไฟฟ้ากระแสตรงจะเท่ากับกำลังไฟฟ้าที่โหลดได้รับเงื่อนไขนี้ จะได้

$$P_s = P_o = \frac{V_o^2}{R} \quad (3.13)$$

มหาวิทยาลัยราชภัฏมหาสารคาม
RAJABHAT MAHASARAKHAM UNIVERSITY

$$P_s = V_s I_L = V_s I_L \quad (3.14)$$

$$V_s I_L = \frac{V_o^2}{R}$$

$$V_o = \frac{V_s}{1-D}$$

$$V_s I_L = \frac{\left(\frac{V_s}{1-D}\right)^2}{R} \quad (3.15)$$

กระแสไฟฟ้าที่โหลดผ่านตัวเหนี่ยวน้ำสูงสุดและต่ำสุด หาได้จากค่าเฉลี่ยและการเปลี่ยนแปลงของกระแสไฟฟ้า ในช่วงเวลาที่สวิตซ์นำกระแส ดังในสมการที่ (3.4)

$$\Delta i_{L,an} = \frac{V_s D T}{L}$$

ดังนั้น กระแสไฟฟ้าที่ไหลผ่านตัวเหนี่ยวนำสูงสุดและต่ำสุด คือ

$$I_{L,\max} = i_L + \frac{\Delta i}{2}$$

$$I_{L,\max} = \frac{V_s}{(1-D)^2 R} + \frac{1}{2} \left(\frac{V_s DT}{L} \right) \quad (3.16)$$

$$I_{L,\min} = \frac{V_s}{(1-D)^2 R} - \frac{1}{2} \left(\frac{V_s DT}{L} \right) \quad (3.17)$$

สมมติให้กระแสไฟฟ้าที่ไหลผ่านตัวเหนี่ยวนำเป็นแบบต่อเนื่องและมีค่าเป็นบวก ดังนั้นจะหาค่าความเห็นใจว่าที่เลือกที่สุด ที่ทำให้วางระบุส์ตอนเวอร์เตอร์ทำงานได้ในขอบเขตระหว่างใหม่ค กระแสไฟฟ้าที่ไหนผ่านตัวเหนี่ยวนำเป็นแบบต่อเนื่องและไม่ต่อเนื่อง ได้จากการกำหนดให้กระแสไฟฟ้าที่ไหลผ่านตัวเหนี่ยวนำมีค่าเป็นศูนย์ ดังสมการที่ (3.17)

$$I_{L,\min} = \frac{V_s}{(1-D)^2 R} + \frac{1}{2} \left(\frac{V_s DT}{L} \right) = 0 \quad (3.18)$$

$$\frac{V_s}{(1-D)^2 R} + \frac{1}{2} \left(\frac{V_s DT}{L} \right)$$

$$I_{L,\min} = \frac{D(1-D)^2 R}{2f} \quad (3.19)$$

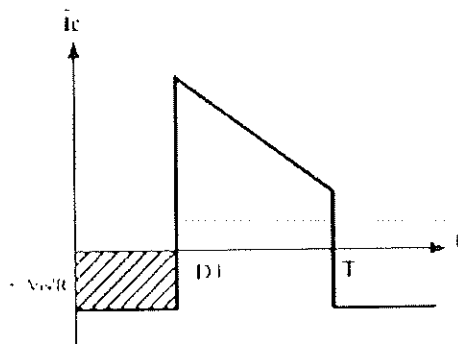
มหาวิทยาลัยราชภัฏมหาสารคาม RAJABHAT MAHASARAKHAM UNIVERSITY

การปรับค่าความเห็นใจว่าที่เลือกที่สุด จากสมการที่ (3.19) สามารถทำได้โดยการปรับที่ค่า D หรือค่าความต้านทานโหลด R หรือค่าความถี่สั่นสะเทือน f

3.3 ค่าระลอกคลื่นของแรงดันไฟฟ้าด้านออก

การที่มีตัวเก็บประจุที่มีขนาดใหญ่จะสามารถรักษาให้แรงดันไฟฟ้าด้านออกคงที่ แต่ในทางปฏิบัติไม่สามารถเลือกใช้ตัวเก็บประจุที่มีขนาดใหญ่มาก ๆ ได้เนื่องจากมีราคาแพงและใช้พื้นที่มากจึงเลือกใช้ตัวเก็บประจุที่มีขนาดเหมาะสม และค่าระลอกคลื่นของแรงดันไฟฟ้าด้านออกอยู่ในระดับที่ยอมรับ

การคำนวณหาค่าระลอกคลื่นของแรงดันไฟฟ้าด้านออกจากยอดดึงยอด สามารถหาได้จากกระแสไฟฟ้าที่ไหลผ่านตัวเก็บประจุ ดังรูปที่ 3.5



รูปที่ 3.5 แสดงกระแสไฟฟ้าผ่านตัวเก็บประจุ
(ก.) กระแสไฟฟ้าผ่านตัวเก็บประจุ

$$|\Delta Q| = C \Delta V_o = I_o \Delta t_{on} \quad (3.20)$$

$$I_o = \frac{V_o}{R}$$

$$\Delta t_{on} = DT$$

$$\Delta V_o = \frac{I_o \Delta t}{C} = \frac{V_o DT}{RC}$$

มหาวิทยาลัยราชภัฏมหาสารคาม
RAJABHAT MAHASARAKHAM UNIVERSITY

$$\frac{\Delta V_o}{V_o} = \frac{DT}{RC} \quad (3.21)$$

$$\frac{\Delta V_o}{V_o} = \frac{D}{RCf} \quad (3.22)$$

เมื่อต้องการลดอัตรากระแสคลื่นของแรงดันไฟฟ้าด้านออก จะทำได้โดยการลดค่า D ให้เข้าใกล้ศูนย์หรือการเพิ่มค่าโหลด หรือเพิ่มค่าของตัวเก็บประจุหรือเพิ่มค่าความถี่ในการสวิตช์ให้สูงขึ้น

3.4 การออกแบบวงจรบูสต์ คอนเวอร์เตอร์

กำหนดการออกแบบตามที่ต้องการ วงจรบูสต์ คอนเวอร์เตอร์ แรงดันไฟฟ้าด้านออกเป็น 120 V โดยมีแหล่งจ่ายกำลังไฟฟ้ากระแสตรง 12 V หากตัวเหนี่ยวนำที่มีขนาดเล็กที่สุด กำหนดให้กระแสไฟฟ้าที่โหลดผ่านตัวเหนี่ยวนำเป็น 10mA หมายความว่าต้องออกแบบตัวเก็บประจุที่เนื่อง อัตรากระแสคลื่นของแรงดันไฟฟ้าด้านออกมีค่า น้อยกว่า 1% เลือกใช้ความถี่สวิตช์ $f_s = 40 \text{ kHz}$ โหลดเป็นความต้านทานโดยมีขนาด $1 \text{ k} \Omega 1 \text{ W}$

3.4.1 หา ค่า D ที่ทำให้ได้ตามเงื่อนไขที่กำหนด

จากสมการที่ (3.10) หรือ (3.12) อัตราการขยายแรงดันไฟฟ้าจะเท่ากับ

$$\frac{V_o}{V_s} = \frac{1}{1-D}$$

$$\frac{120}{12} = \frac{1}{1-D}$$

$$1-D = \frac{1}{10}$$

$$\therefore D = 1 - 0.1 = 0.9$$

3.4.2 ตัวเหนี่ยวนำที่มีขนาดเล็กที่สุดของวงจรบูสต์คอนเวอร์เตอร์ที่ทำงานในโหมด กระแสต่อเนื่อง

จากสมการที่ (3.19)

$$L_{\min} = \frac{D(1-D)^2 R}{2 f}$$

$$L_{\min} = \frac{0.9 \times (1-0.9)^2 1,000}{2 \times 40,000}$$

$$L_{\min} = 112.5 \mu\text{H}$$

ได้ขนาดตัวเหนี่ยวนำมีค่า 112.5 μH เลือกใช้ 100 μH

3.4.3 หาขนาดของตัวเก็บประจุที่ทำให้อัตรากระแสคลื่นเท่ากับ 1%

หาได้จากสมการที่ (3.22)

$$\frac{\Delta V_o}{V_o} = \frac{D}{RCf}$$

$$C = \frac{D}{Rf} \frac{\Delta V_o}{V_o}$$

$$C = \frac{0.9}{1,000 \times 40,000 \times 0.01}$$

ดังนั้น จะได้ตัวเก็บประจุ $C = 2.25 \mu\text{F}$

ได้ขนาดตัวเก็บประจุมี คือ 2.25 μF เลือกใช้ 48 μF 150 Vdc

3.5 การเลือกใช้ตัวเหนี่ยวนำ

การออกแบบตัวเหนี่ยวนำนี้ใช้ในวงจรนี้ ให้ค่าขากราร์กวนวนเท่ากับ 112.5 ไมโครเอนรี่ (μH) เลือกใช้ 100 ไมโครเอนรี่ (μH) ในการเลือกนี้ งานวิจัยนี้เลือกตัวเหนี่ยวนำแบบแกนหอร้อยทรงกลมที่ทำมาจากสารเฟอร์ไรต์มีข่ายตามร้านอิเล็กทรอนิกส์ทั่วไปในราคาที่ไม่แพงซึ่งทำงานวิจัยจึงเลือกซื้อ แล้วน้ำดีค่าความเหนี่ยวนำแก้ไขค่าความเหนี่ยวนำโดยการนับรอบของ漉คตัวนำที่พันรอบแกนและอาจตัวนำที่พันรอบแกนออกบ้าง จึงได้ขนาดใกล้เคียงกับค่าที่ต้องการ มีเส้นผ่าศูนย์กลางภายในขนาด 1 เซนติเมตร เส้นผ่าศูนย์กลางภายนอกขนาด 2.5 เซนติเมตร ความกว้าง 1 เซนติเมตร จำนวนรอบที่พัน 47 รอบใช้เวลาองค์เดงเบอร์ 18 จากนั้นพิจารณาจากหลักการและทฤษฎีและคุณสมบัติต่างๆ ประกอบ ดังตารางที่ 3.2 ชนิดของแกนหม้อแปลงที่ใช้ความถี่สูง



รูปที่ 3.5 แสดงกระแสที่ไหลผ่านตัวเก็บประจุ

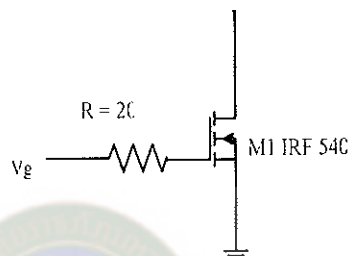
(ก.) แสดงลักษณะแกนหอร้อยทรงกลมที่ใช้พันตัวเหนี่ยวนำ

มหาวิทยาลัยราชภัฏมหาสารคาม
ตารางที่ 3.2 ชนิดของแกนหม้อแปลงที่ใช้ความถี่สูง
RAJABHAT MAHASARAKHAM UNIVERSITY

Appropriate core types					
Min H	Max H	Type of Core	Adjustable	High current	Frequency limit
20 nano Henry	1 micro Henry	Air cored, self supporting	Y	Y	1GHz
20 nano Henry	100 micro Henry	Air cored, on former	N	Y	500MHz
100 nano Henry	1 milli Henry	'Slug' tuned open winding	Y	N	500MHz
10 micro Henry	20 milli Henry	Ferrite ring	N	N	500MHz
20 micro Henry	0.3 Henry	RM Ferrite Core	Y	N	1MHz
50 micro Henry	1 Henry	EC or ETD Ferrite Core	N	Y	1MHz
1 Henry	50 Henry	Iron	N	Y	10kHz

3.6 การออกแบบวงจรขับเกต

การออกแบบวงจรขับเกตของวงจรใช้��体场效应管 เบอร์ IRF 540 เป็นชานนิต N – channel transistor ชนิด TO-220 มีค่า $V_{DD} \leq 25$ V ; $R_{GS} = 50 \Omega$; $V_{GS} = 10$ V; $V_{DC} = 230$ V; $f = 1$ MHz จากลักษณะสมบัติในการทำงานที่ดีของมอสเฟสกำลังที่ทำให้สามารถทำงานที่ความถี่สูงมากๆ ได้ในการออกแบบต้องมีข้อระวังเกี่ยวกับปัญหาการอสซิเลชัน เพื่อแก้ปัญหานี้จะต้องใช้เฟอร์บิต หรือความด้านทานค่าๆ ต่ออนุกรมกับขาเกตของมอสเฟต ดังรูปที่ 3.6

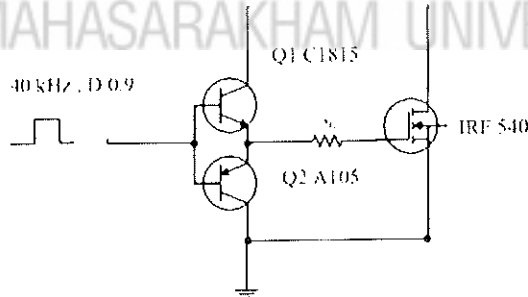


รูปที่ 3.6 แสดงการต่อความด้านทานที่มีค่าต่ำๆ ต่ออนุกรมกับขาเกตของมอสเฟต

3.6.1 การขับมอสเฟสด้วย TTL

แม้ว่าจะขับมอสเฟสโดยตรงจากกราวน์เดอที่มุตของสัญญาณ TTL แต่เนื่องจากทรานซิสเตอร์ทำงานในบริเวณเชิงเส้นเป็นเวลานานกว่าจะส่งจุดอินเต็ม ทำให้มอสเฟตไม่สามารถทำงานที่ถูกที่ดีที่สุดได้

**มหาวิทยาลัยราชภัฏมหาสารคาม
RAJABHAT MAHASARAKHAM UNIVERSITY**



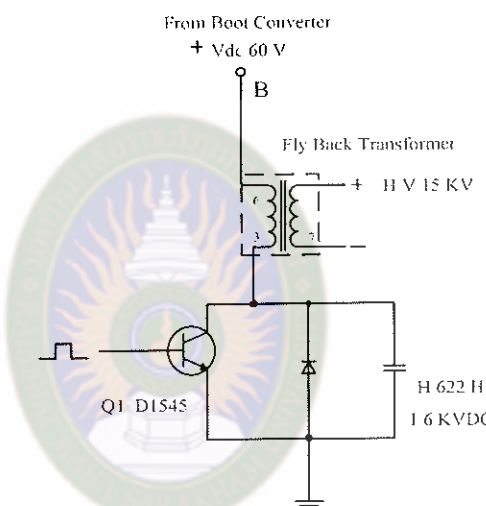
รูปที่ 3.7 แสดงการต่อวงจร Emitter-follower ชนิด Complementary

เพื่อทำให้กระแสซอร์สและซิงก์ไพล์ได้เร็วขึ้น จึงต่อวงจร Emitter-follower ชนิด Complementary ดังรูปที่ 3.7 ซึ่งในส่วนนี้จะทำหน้าที่เป็นบันไฟฟอร์ในขณะการจ่ายกระแสแต่ต้องเดือกรานซิสเตอร์ Q_1, Q_2 ที่มีค่าแคนสูงเพื่อจะทำให้กระแสที่ออกจากพอร์ตของวงจรและสวิตช์ไปควบคุมและสวิตช์ปิดวงจร

3.7 การออกแบบการสวิตช์ FLYBACK CONVERTER SWITCHING โดยใช้ทรานซิสเตอร์

การออกแบบการสวิตช์ด้วยทรานซิสเตอร์ที่ใช้ในวงจร FLYBACK CONVERTER จะต้องเลือกทรานซิสเตอร์ที่มีอัตราการหัน反转ดันคอลเลกเตอร์สูงสุด ขณะที่สวิตช์ปิดวงจรและกระแสสกัดคอลเลกเตอร์สูงสุดขณะที่สวิตช์ปิดวงจรแรงดันคอลเลกเตอร์จะเป็นสองเท่า

จากสมการที่ 3.4 $V_{ce, max} = V_{in} / (1 - d_{max})$



รูปที่ 3.8 แสดงการออกแบบ FLYBACK CONVERTER โดยใช้ทรานซิสเตอร์
RAJABHAT MAHASARAKHAM UNIVERSITY

เมื่อ V_{in} คือ แรงดันไฟตรงอินพุท d_{max} คือ ดิวตี้ไซเกิลสูงสุด (duty cycle) สมการที่ 3.4 จะเป็นการบอกค่าของแรงดันคอลเลกเตอร์ในย่านที่ปลดภัย ดิวตี้ไซเกิลจะต้องมีค่าต่ำ ปกติจะต่ำกว่า 50% ($d_{max} < 0.5$) ในทางปฏิบัติ d_{max} จะใช้ประมาณ 0.4 ซึ่งจะเป็นการจำกัดให้แรงดันคอลเลกเตอร์สูงสุด $V_{ce,max} = < 2.2V_{in}$ ทรานซิสเตอร์ควรมีแรงดันไม่ต่ำกว่า 800 V กระแสสกัดคอลเลกเตอร์ของทรานซิสเตอร์จะเป็นสองเท่า

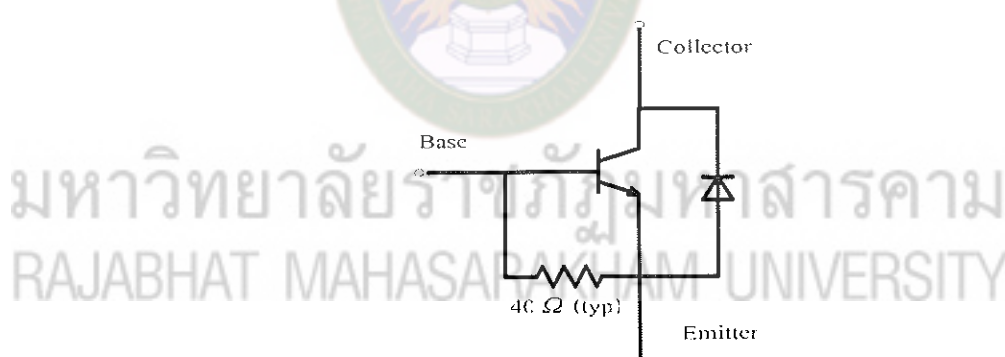
$$I_c = I_L / n$$

เมื่อ I_L คือ กระแสสำหรับภาระ

n คือ สัดส่วนจำนวนรอบของคลื่น

ในการออกแบบการสวิทช์ด้วยทรานซิสเตอร์ ผู้วิจัยได้เลือกใช้ ฮอร์น เอคทุต ทรานซิสเตอร์ เบอร์ D 1545 ซึ่งเป็นทรานซิสเตอร์ที่ไม่มีการต่อแคมเปอร์ໄค์โอดและตัวด้านหน้าภายในโครงสร้าง การออกแบบวงจรจึงต้องต่อ แคมเปอร์ໄค์โอดซึ่งเป็นໄค์โอดชนิดความถี่สูง Fast recovery เบอร์ S2C40 ที่ใช้ในโทรศัพท์นิยม หรืออาจจะใช้ตระกูล BY xx แทนก็ได้ การต่อแคมเปอร์ໄค์โอดก็เพื่อป้องกันกระแสข้อนกลับจากการเปลี่ยนแปลงข้ามและการเหนี่ยวแนวนี้พัลส์ลับของฟลายเบิค ทรานซ์ฟอร์เมอร์ ขณะทรานซิสเตอร์เกิดความร้อนด้วยการกระแสแรงดันที่ขาคอลเลกเตอร์ ของทรานซิสเตอร์จะสูงขึ้น มีผลทำให้ระบบไฟแรงสูงทำงานด้วย เมื่อเข้าสู่ภาวะของการรีเทรูฟเซ็นแรงแม่เหล็กหักดอง ส่วนจะเกิดการยุบตัว มีผลทำให้ໄค์โอดแคมเปอร์ปิคุงร์ เมื่อแรงดันที่คากาชิเตอร์ ชาร์จประจุเท่ากับแรงดันอินพุตส่งผลให้เกิดพัลส์ที่มีการสะสมพลังงานสูงๆขึ้นที่ขาคอลเลกเตอร์ของทรานซิสเตอร์นั่นหมายถึงว่าระบบของการเพิ่มแรงดันที่เกิดขึ้นในฟลายเบิคจะเป็นไปอย่างมีประสิทธิภาพ

เพื่อความสะดวกอาจจะใช้ทรานซิสเตอร์ เบอร์ 2SD 2499 หรือ 2SD 1877 ซึ่งเป็นทรานซิสเตอร์ที่ใช้ในโทรศัพท์เดี๋ยวนี้ได้ โดยที่ไม่ต้องต่อแคมเปอร์ໄค์โอดและคาน่าเชิเตอร์คร่อมที่ขา C และขา E ซึ่งทรานซิสเตอร์ เบอร์ 2SD 2499 จะมีวงจรแฉมเปอร์ และตัวด้านหน้าเพื่อป้องกันกระแสพัลส์สูงเกิน และแรงดัน V_{CE} อุปในโครงสร้าง ดังรูปที่ 3.9



รูปที่ 3.9 แสดงวงจรภายในทรานซิสเตอร์ เบอร์ 2SD2499 และ 2SD1877

ทรานซิสเตอร์ที่นำมาใช้ในวงจรที่ได้ออกแบบนี้ มีคุณลักษณะสนับสนุนดังนี้

$$\text{High Voltage} : V_{ceBO} = 1500 \text{ V}$$

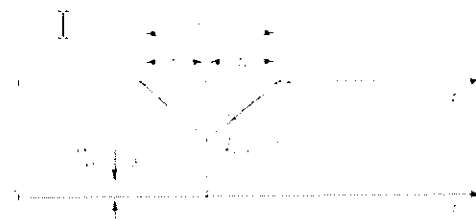
$$\text{Low Saturation Voltage} : V_{CE(sat)} = 5 V_{max}$$

$$\text{High Speed} : t_f = 0.3 \mu\text{s (yp)}$$

$$\text{Junction Temperature} : T_i = 150^\circ\text{C}$$

3.8 ໄດໂອດຄວາມຄື່ສູງ

ໄດໂອດມີແຮງດັນທົກລ່ຽມຂອະນຸມະນຳກະແສກ່ອມບ້າງສູງປະກາດ 0.8–1.2 V ມີອັຕຣາຫານແຮງດັນຍື່ອນກລັບສູງເນື່ອງຈາກວົງຈານໃຊ້ຄວາມຄື່ສູງ 20-40 kHz ເພື່ອເປັນກາຮ່ວຍລົດໜ່ວງເວລາ Reverse recovery (I_{RR}) ຈຶ່ງຕ້ອງເລືອກໃຊ້ເລືອກນິດ Fast recovery ເປົ້ອງ S2C40 ຊົນຄົກທີ່ນີ້ຍີ່ໃໝ່ໃນໄວຮັກນີ້

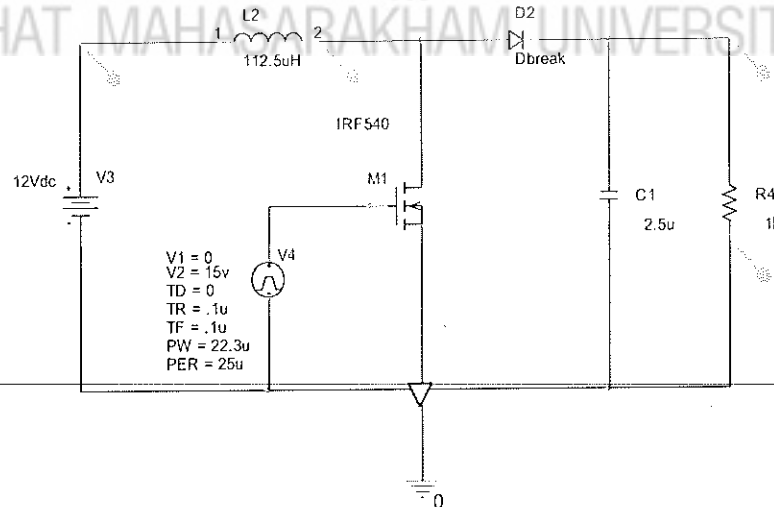


ຮູບທີ່ 3.10 ພັດທະນາຄຸມຄົມສັກຍະພື້ນຕ້ວຍຍື່ອນກລັບຂອງໄດໂອດ

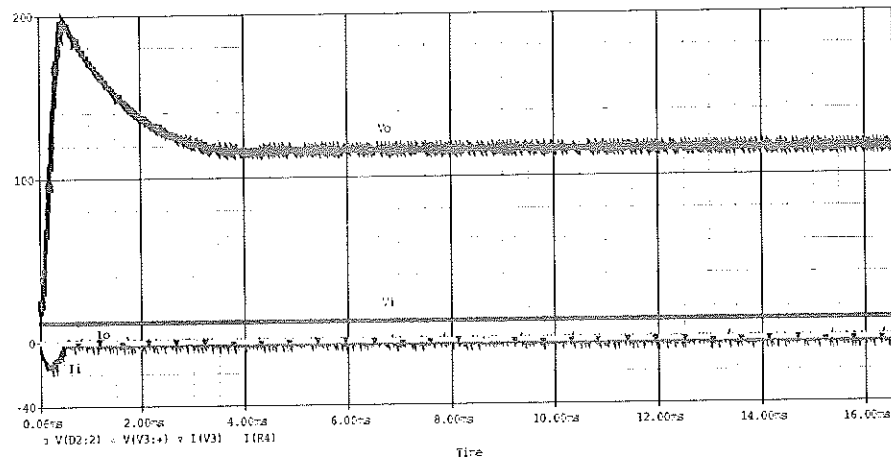
3.9 ວົງຈຽນສົ່ງ ຄອນເວອຣ໌ເຕອຣີໃນໂທມດກະຮະແສຕ່ອນເນື່ອງທີ່ນຳຄ່າທີ່ໄດ້ຈາກກາຮ່ວຍມາຈໍາລົງຫາຄ່າແຮງດັນໄຟຟ້າດ້ານຂາອອກ ຈາກໂປຣແກຣມຄອມພິວເຕອຣ໌

ຄ່າທີ່ກຳໜາດແລະຄ່າທີ່ອອກແບນໄດ້ມີຕັນນີ້ຄວາມຄື່ 40 kHz, ອຳດິວຕີໄຟດໍາເກີດ (D) 0.9, ຕັມහີຍ່ວນໍາ 112.5 μ H, ຕັມກີບປະຈຸ 2.25 mF, ຕັມຕ້ານຫານ 1 k Ω

ມໍາວິທາລະຽດຈຸກກຸມຫາສາຮາມ
RAJABHAT MAHASARAKHAM UNIVERSITY



ຮູບທີ່ 3.11 ພັດທະນາຈໍາລົງອອກແບນແລະວິເຄຣະຫົວງຈຽນສົ່ງ ຄອນເວອຣ໌ເຕອຣີຈາກໂປຣແກຣມຄອມພິວເຕອຣ໌

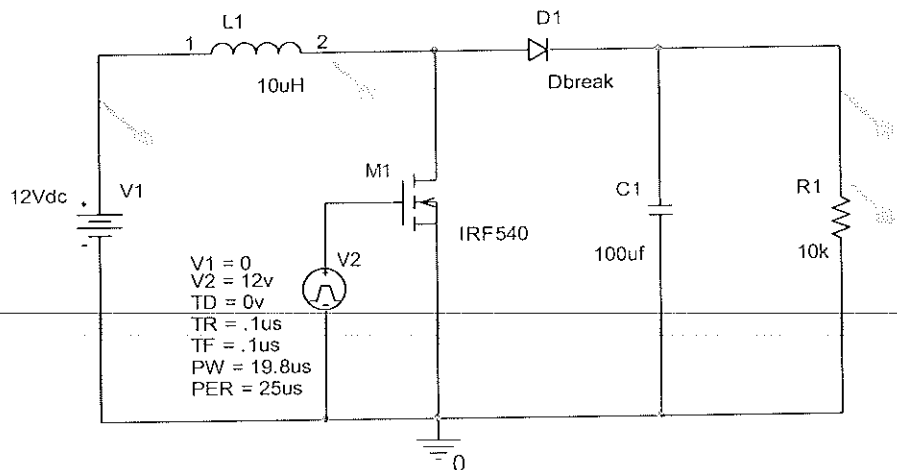


รูปที่ 3.12 แสดงค่าของแรงดันไฟฟ้าที่ได้จากการจำลองโปรแกรมคอมพิวเตอร์
จากค่าที่ได้จากการคำนวณ $Vi = 12 \text{ Vdc}$, $V_o = 118 \text{ Vdc}$

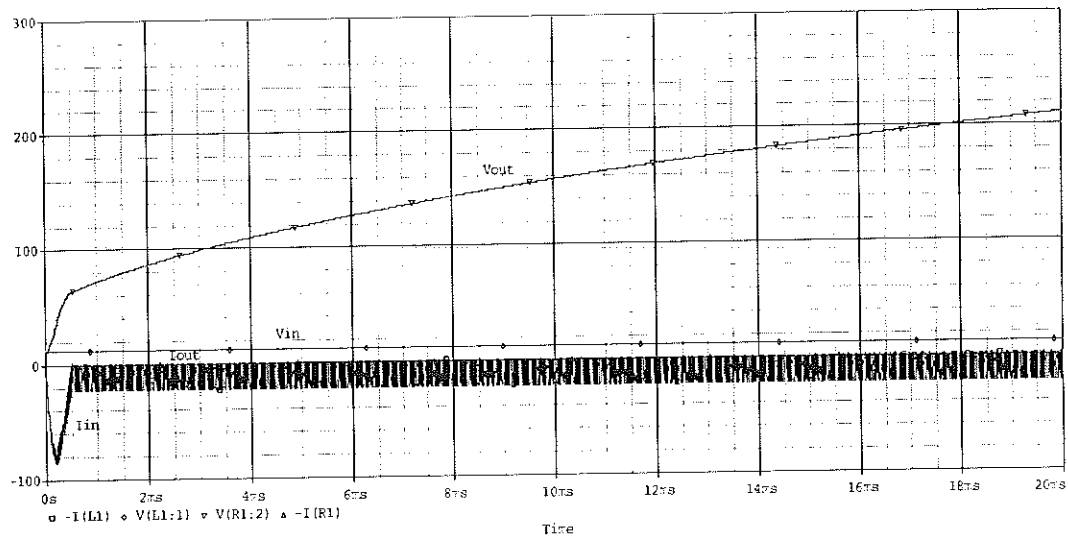
3.10 การจำลองการออกแบบและวิเคราะห์แรงดันกระแสเดินเข้าและเดินออก ของวงจรแปลงผัน Boost Converter Circuit จากโปรแกรมคอมพิวเตอร์

งานวิจัยนี้ได้ทำการทดลองการจำลองการอุปกรณ์และวิเคราะห์แรงดันกระแสเดินเข้าและเดินออกของวงจรแปลงผัน บุสต์ คอนเวอเรอร์ จากโปรแกรมคอมพิวเตอร์ โดยการเปลี่ยนแปลงค่าหาระยะห่างต่างๆ เช่นแรงดันเดินเข้า V_{dc} ตัวเหนี่ยวนำ (L) ตัวเก็บประจุ ตัวด้านหน้า ความถี่ (f) ค่าคิวต์ไซเกอร์ (D) เพื่อศึกษาค่าหาระยะห่างต่างๆ ที่มีผลต่อแรงดันเดินออก (V_o) ดังจะได้แสดงผลของการจำลองการอุปกรณ์จากโปรแกรมคอมพิวเตอร์ ตั้งแต่รูปที่ 3.14-3.18

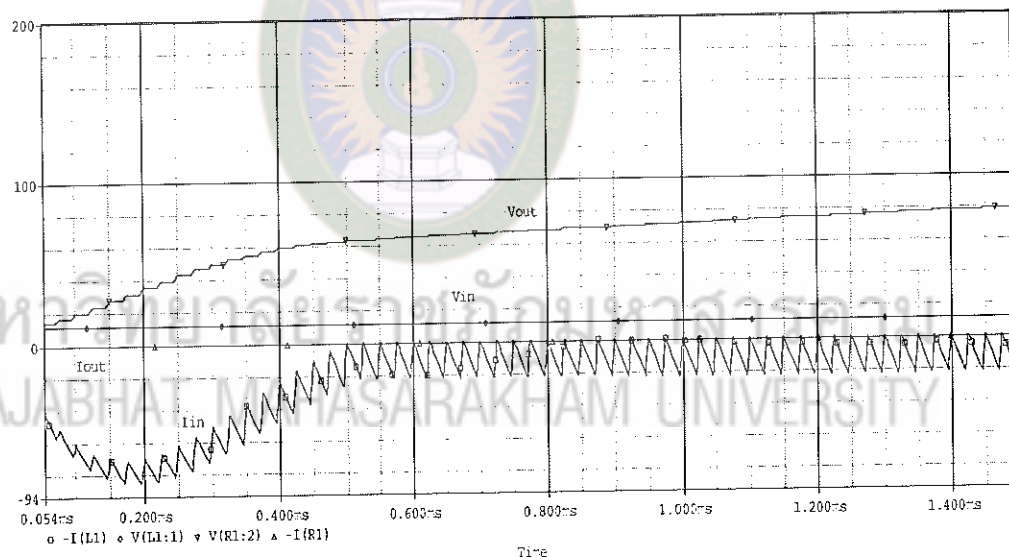
RAJABHAT MAHASARAKHAM UNIVERSITY



รูปที่ 3.13 แสดงการจำลองวงจรแปลงผัน Boost Converter จากโปรแกรมคอมพิวเตอร์

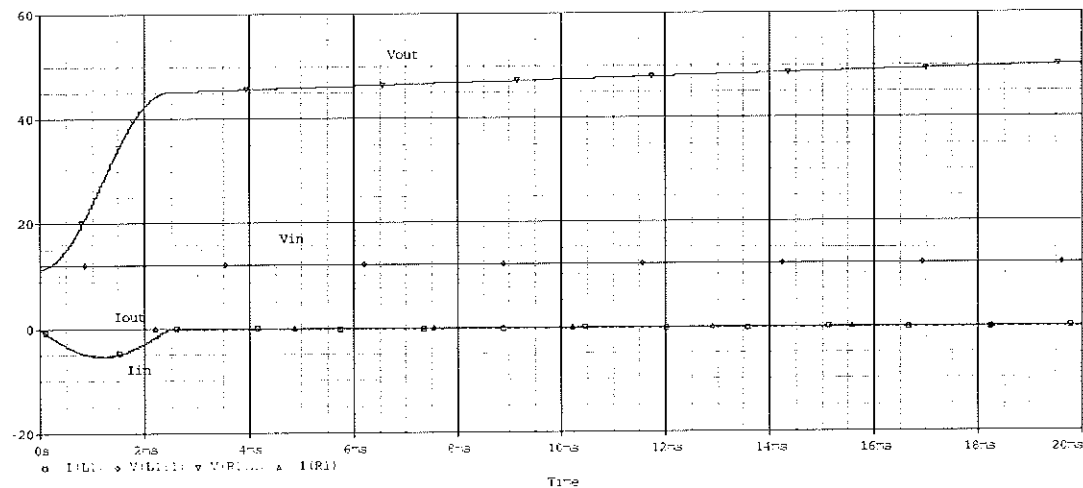


รูปที่ 3.14 แสดงผลการจำลองแรงดันและกระแสด้านขาและด้านออกของวงจรแปลงผัน 40 kHz ที่ค่าคิวต์ไชเกิล (D) 90%



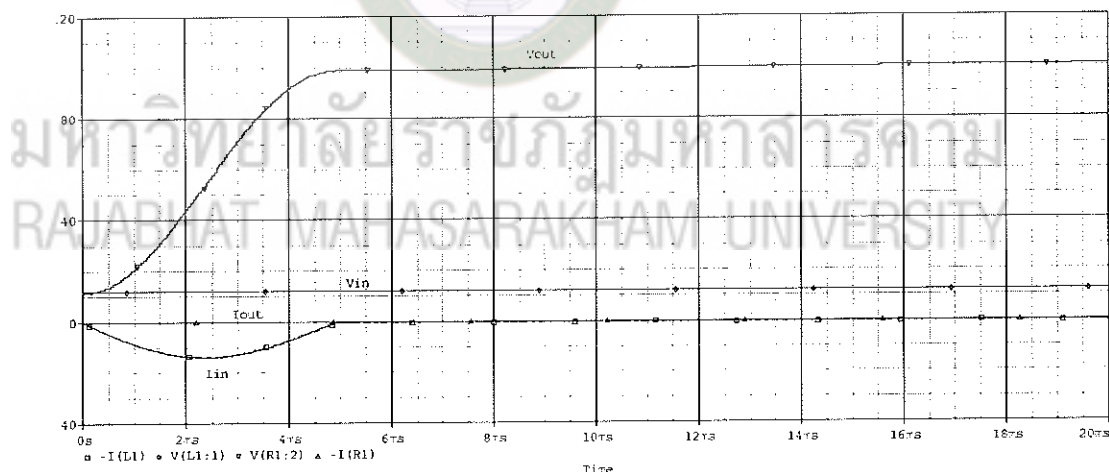
รูปที่ 3.15 แสดงภาพขยายผลการจำลองแรงดันและกระแสด้านขาและด้านออกของวงจรแปลงผัน 40 kHz ที่ค่าคิวต์ไชเกิล (D) 80%

กราฟแสดงผลการจำลองจากโปรแกรมคอมพิวเตอร์ของวงจร Boost Converter โดยกำหนดให้แรงดันด้านขา (V_{in}) 12 Vdc ตัวเหนี่ยวนำ (L) $10 \mu H$ ตัวเก็บประจุ (C) $100 \mu F$ ตัวต้านทาน (R) $10 K\Omega$ ที่ความถี่ (f) $40 kHz$ ที่ค่าคิวต์ไชเกิล (D) 80 %



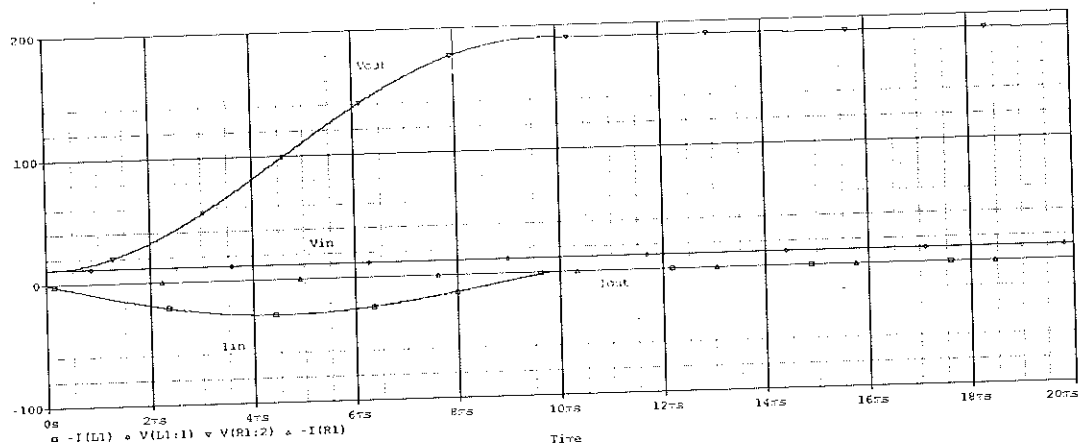
รูปที่ 3.16 แสดงผลการจำลองแรงดันและกระแสด้านข้างและด้านออกของ
วงจรแปลงผันที่ความถี่ 20 kHz ที่ค่าดิวตี้ไซเกิล (D) 60 %

กราฟแสดงผลการจำลองจากโปรแกรมคอมพิวเตอร์ของวงจร Boost Converter โดยกำหนดให้
แรงดันด้านข้าง (Vin) 12 Vdc ตัวเหนี่ยวนำ (L) 1 mH ตัวเก็บประจุ (C) 100 μ F ตัวต้านทาน (R)
10 K Ω ที่ความถี่ (fs) 40 kHz ค่าดิวตี้ไซเกิล (D) 60 %



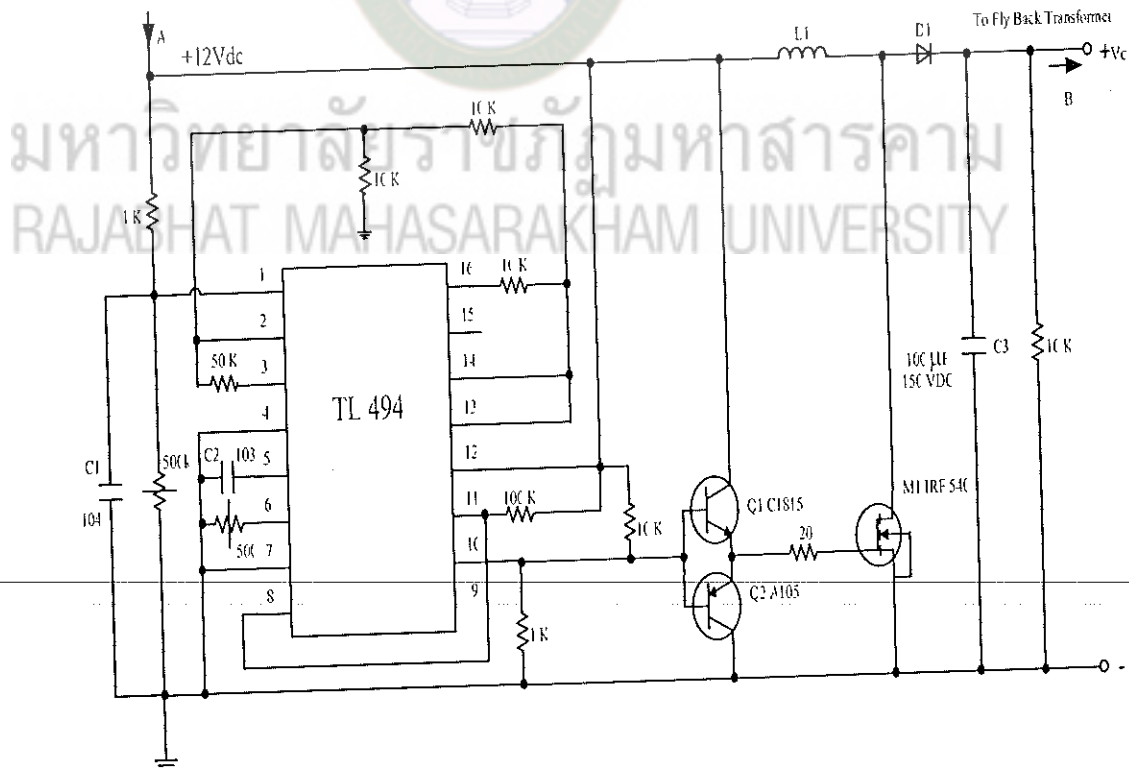
รูปที่ 3.17 แสดงผลการจำลองแรงดันและกระแสด้านข้างและด้านออกของวงจรแปลงผัน
ที่ความถี่ 20 kHz ที่ค่าดิวตี้ไซเกิล (D) 80 %

กราฟแสดงผลการจำลองจากโปรแกรมคอมพิวเตอร์ของวงจร Boost Converter โดยกำหนดให้
แรงดันด้านข้าง (Vin) 12 Vdc ตัวเหนี่ยวนำ (L) 1 mH ตัวเก็บประจุ (C) 100 μ F ตัวต้านทาน (R)
10 K Ω ที่ความถี่ (fs) 20 kHz ค่าดิวตี้ไซเกิล (D) 80 %



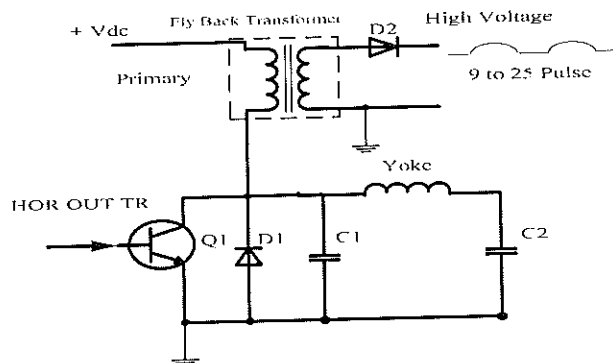
รูปที่ 3.18 แสดงผลการจำลองแรงดันและกระแสดำเนินเวลาของวงจรแปลงดัน
ความถี่ 40 kHz ที่ค่าดิวตี้ไซเกิล (D) 90 %

กราฟแสดงผลการจำลองจากโปรแกรมคอมพิวเตอร์ของวงจร Boost Converter โดยกำหนดให้แรงดันด้านด้านใน (Vin) 12 Vdc ตัวเหนี่ยวนำ (L) 1 mH ตัวเก็บประจุ (C) 100 μ F ตัวต้านทาน (R) 10 K Ω ที่ความถี่ (fs) 20 kHz ค่าดิวตี้ไซเกิล (D) 90 %



รูปที่ 3.19 แสดงวงจรบูสต์ คอนเวอร์เตอร์ที่ออกแบบและสร้างขึ้น

3.11 การวิเคราะห์วงจรฟลายแบ็ค



รูปที่ 3.20 แสดงวงจรฟลายแบ็ค คอนเวอร์เตอร์ที่ออกแบบและสร้างขึ้น

จากหลักการวงจรฟลายแบ็ค งานวิจัยนี้ได้นำเอาหลักการของระบบ (Basic Functions) การบังคับการสแกนทำงานnoonหรือออดิชันตอเลาต์ๆ (Horizontal Scan System) ซึ่งเป็นหลักการที่ส่งผลต่อความเป็นภาพที่หน้าจอเครื่องรับโทรทัศน์ นั่นคือ การกวาดล้ำแสงของอิเล็กตรอน จากรูป 3.20 อันเป็นวงจรรวมของการสแกนทางnoonทั้งหมด จะพบว่า เมื่อวงจรอสซิลเลเตอร์มีสัดความถี่เพื่อการสแกน ซึ่งมีความถี่เท่ากับ 15,625 เฮริตที่ ความถี่ตรงนี้จะส่งไปยังระบบขับกำลัง (Driver) เพื่อส่งออกวงจรขยายกำลังหลักหรือวงจรออดิชันตอเลาต์ๆ ต่อไป

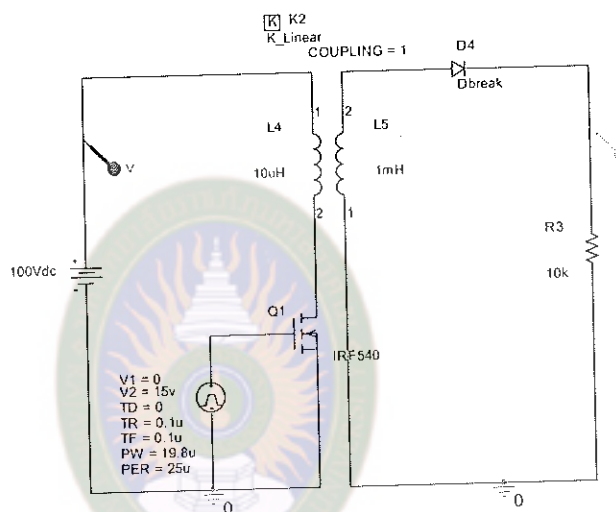
มหาวิทยาลัยราชภัฏมหาสารคาม
RAJABHAT MAHASARAKHAM UNIVERSITY

ในส่วนของวงจรออดิชันตอเลมีห้องชั้นการทำงานหลัก ๆ ในเบื้องต้น 2 ประการ ด้วยกัน ประการแรกคือ การทำให้เกิดสัญญาณฟันเดือย (Saw tooth) เพื่อส่งกระแสของสัญญาณไปยังออดิชันตอเล ใช้คุณการทำงานส่วนนี้ไปเปลี่ยนเป็นล้ำอิเล็กตรอนให้เกิดการกวาดล้ำแสงที่หน้าจอ ประการต่อมา วงจรนี้จะต้องส่งไปขับฟลายแบ็ค ทรานซิสเตอร์เมอร์ (Flyback Transformer) เพื่อให้ตัวฟลายแบ็ค ทรานซิสเตอร์เมอร์ทำการผลิตไฟแรงสูงเพื่อป้อนให้อาระมดของหลอดภาพ ส่วนของไฟแรงสูงของ เครื่องรับโทรทัศน์ข้ามคำจะใช้ไฟแรงสูง ขนาด 8-10 กิโลโวลท์ โทรทัศน์สีใช้แรงดันไฟตั้งแต่ 20-30 กิโลโวลท์

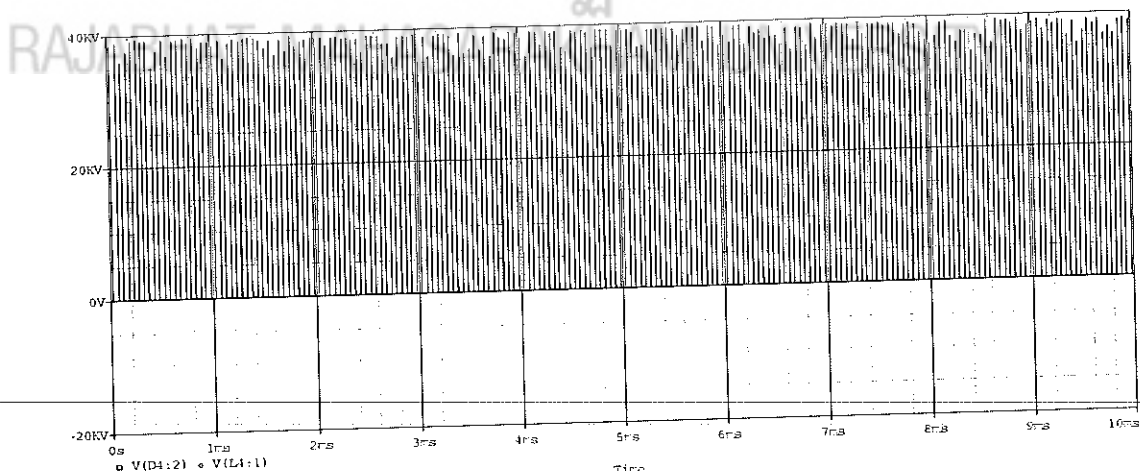
ในส่วนของวงจรภาคขับ (Driver) ของทรานซิสเตอร์ที่ทำหน้าที่ออดิชันตอเลาต์ๆ ที่ใช้ขับฟลายแบ็คจะต้องเป็นชนิดที่ออกแบบเพื่อให้ใช้กับวงจรฟลายแบ็คอย่างมีประสิทธิภาพ ซึ่งต้องมีลักษณะพิเศษ คือ ต้องมีความสามารถในการจ่ายกระแสแรงดันสูง ๆ ได้ด้วยลักษณะของการเกรินອ่าตัวเองอย่างรวดเร็ว (Fast Turn-off) ดังนั้น ในส่วนของสัญญาณอินพุตที่ออกแบบเพื่อขับเบสจึงต้องมีสเกลียรภาพของสัญญาณ เพราะว่าทรานซิสเตอร์ต้องทนไฟท์ (Flick) สูงมาก ๆ

ตั้งนี้ โครงสร้างจึงต้องสร้างให้ค่อนได้เตอร์เรียบ (Collector Region) มีความหนามาก ๆ และต้องมีความไวสูงด้วย ในเวลาเดียวกันก็ต้องลดเลือกเตอร์ต้องสามารถจ่ายกระแสไฟสูงหรือที่เรียกว่า “สาร์ดเชิงชูเรชั่น” (Hard Saturation) เมื่อมีกระแสแบบสปรินก์

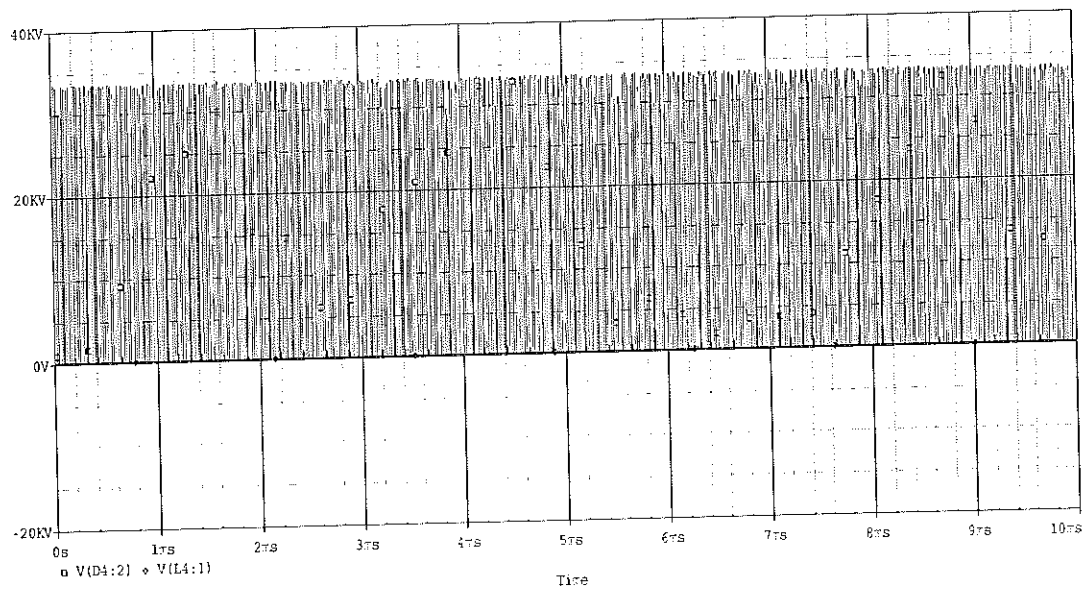
3.12 การจำลองการออกแบบและวิเคราะห์แรงดันและกระแสด้านเป้าและด้านออกของวงจรแปลงผัน Flyback Converter จากโปรแกรมคอมพิวเตอร์



รูปที่ 3.21 แสดงการจำลองวงจรแปลงผัน Flyback Converter จากโปรแกรมคอมพิวเตอร์

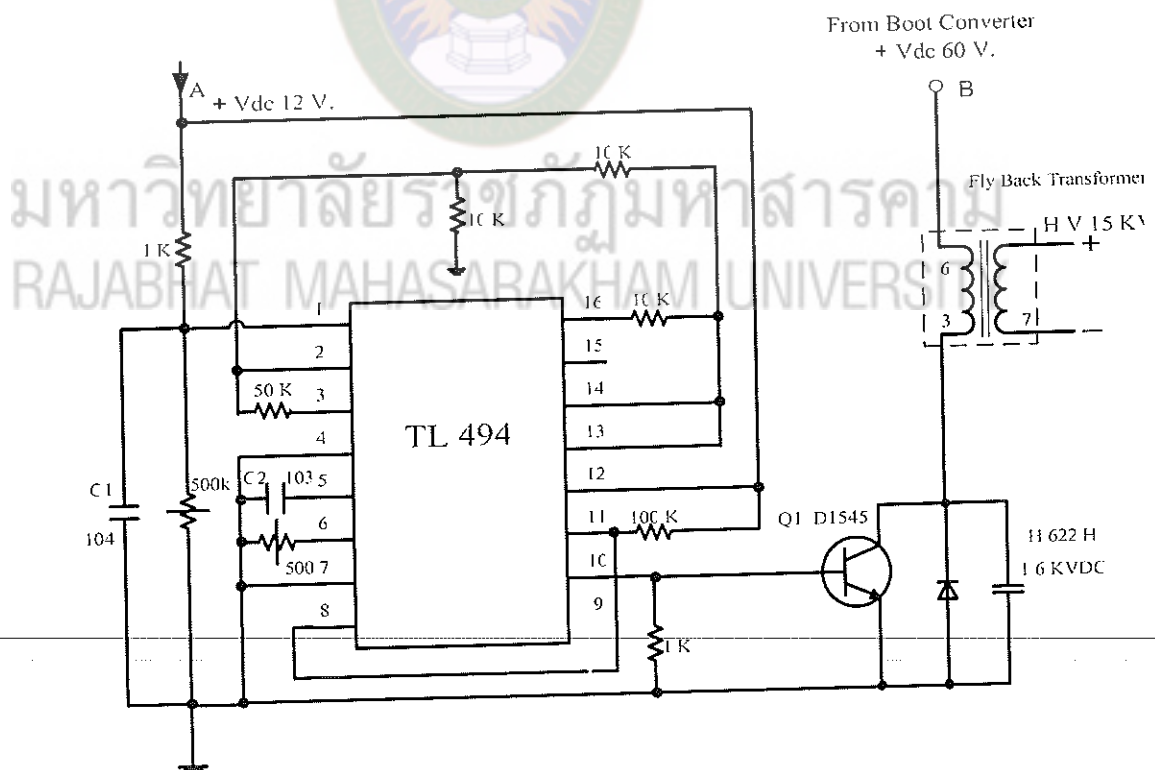


รูปที่ 3.22 แสดงผลการจำลองจากโปรแกรมคอมพิวเตอร์ของวงจร Flyback Converter โดยกำหนดให้แรงดันด้านเป้า (Vin) 12 Vdc ตัวเหนี่ยวนำ (L) 1 mH ตัวเก็บประจุ (C) 100 μ F ตัวต้านทาน (R) 10 K Ω ที่ความถี่ (fs) 20 kHz ค่าดิจิติกซ์เกิด (D) 60 %



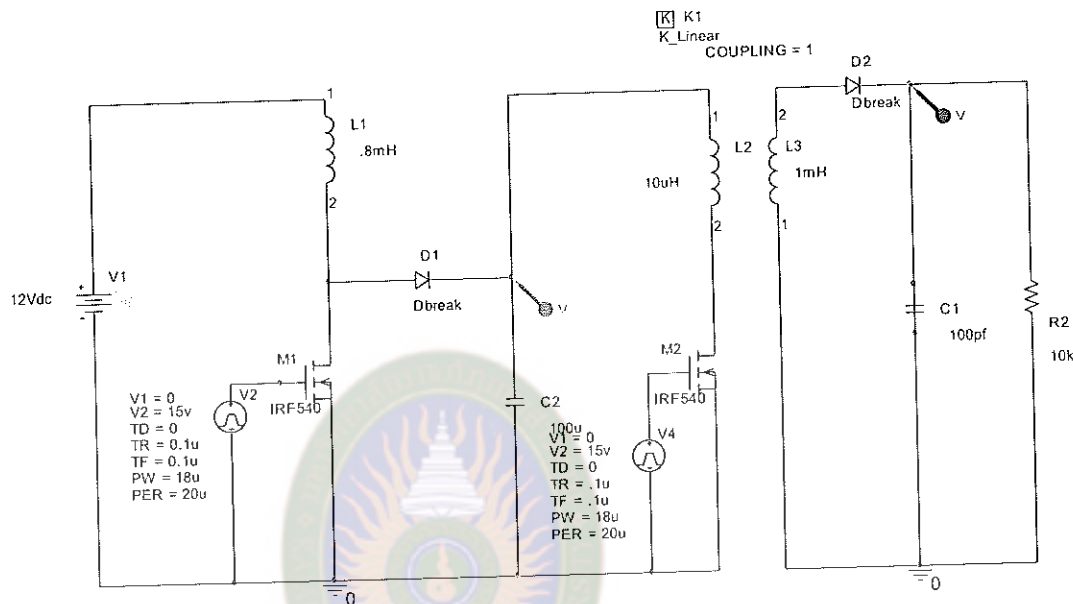
รูปที่ 3.23 แสดงผลการจำลองขาคู่ปรักรรมคอมพิวเตอร์ของวงจร Flyback Converter

โดยกำหนดให้แรงดันด้านเข้า (V_{in}) 12 Vdc ตัวเหนี่ยวนำ (L) 1 mH ตัวเก็บประจุ (C) 100 μ F ตัวต้านทาน (R) 10 $K\Omega$ ที่ความถี่ (f_s) 20 kHz ค่าไดรฟ์ไฟเกล (D) 80%



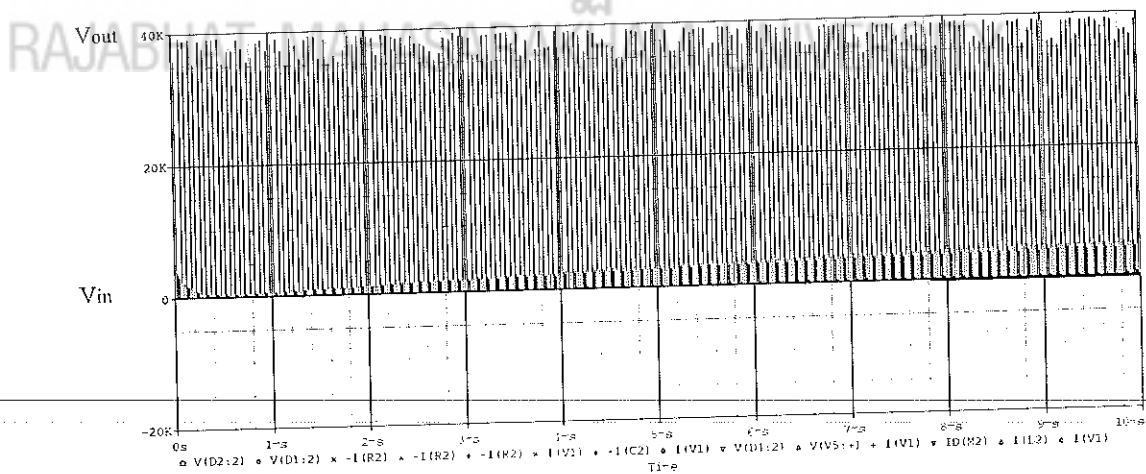
รูปที่ 3.24 แสดงรูปวงจรที่ใช้ในการขับหม้อแปลงสวิตช์ซิงฟลายแบนก์

3.12.1 การจำลองค่าแรงดันด้านเข้าและด้านออกของชุดวงจรจุดหลอดนีออนโดยณาสำหรับแหล่งจ่ายพลังงานแสงอาทิตย์โดยใช้หม้อแปลงฟลายแบ็คเครี่องรับโทรศัพท์จากโปรแกรมคอมพิวเตอร์



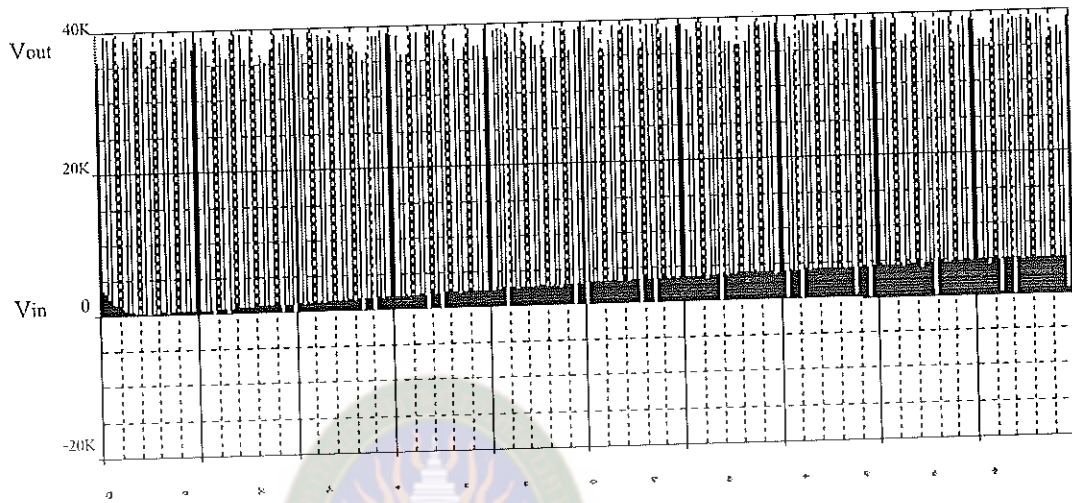
รูปที่ 3.25 แสดงการจำลองชุดวงจรจุดหลอดนีออนโดยณาสำหรับแหล่งจ่ายพลังงานแสงอาทิตย์โดยใช้หม้อแปลงฟลายแบ็คเครี่องรับโทรศัพท์จากโปรแกรมคอมพิวเตอร์

มหาวิทยาลัยราชภัฏมหาสารคาม
RAJABHAT MAHASARAKHAM



รูปที่ 3.26 แสดงผลการจำลองแรงดันด้านเข้าและด้านออกที่ความถี่ 50 kHz
ที่มีค่าไดร์ตี้ไซกิล (D) 90 %

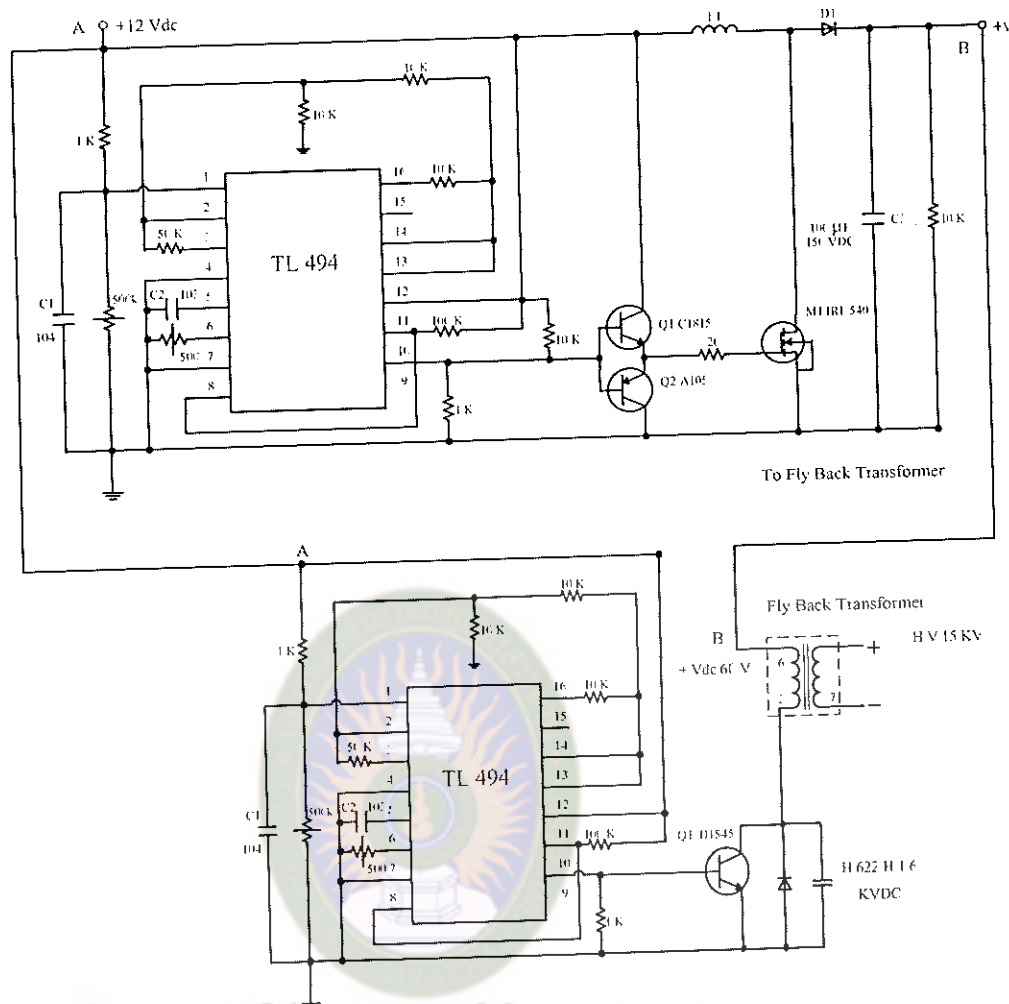
กราฟแสดงผลการจำลองของวงจรดูดหลอดนีออนโดยมีความถี่สูงจากโปรแกรมคอมพิวเตอร์ โดยกำหนดให้แรงดันด้านค่านเข้า (V_{in}) 12 Vdc ตัวเหนี่ยวนำ (L) 1uH/1 mH ตัวต้านทาน (R) 10 K Ω ที่ความถี่ (fs) 20 kHz กำ�ิວต์ใช้เกลิด (D) 90 %



รูปที่ 3.27 แสดงผลการจำลองแรงดันด้านเข้าและด้านออกที่ความถี่ 50kHz
ที่มีกำ�ิວต์ใช้เกลิด (D) 90 %

กราฟแสดงผลการจำลองของวงจรดูดหลอดนีออนโดยมีความถี่สูงจากโปรแกรมคอมพิวเตอร์ โดยกำหนดให้แรงดันด้านค่านเข้า (V_{in}) 12 Vdc ตัวเหนี่ยวนำ (L) 1uH/1 mH ตัวต้านทาน (R) 10 K Ω ที่ความถี่ (fs) 20 kHz กำ�ิວต์ใช้เกลิด (D) 90 %

มหาวิทยาลัยราชภัฏมหาสารคาม
RAJABHAT MAHASARAKHAM UNIVERSITY



รูปที่ 3.28 แสตดงรูปวงจรที่ออกแบบสร้างชุดวงจรจุดหลอดนีออน โคมณาสำค้าหรับ
แหล่งจ่ายพลังแสงอาทิตย์โดยใช้มือแปลงฟลายเบ็คเครื่องรับโทรศัพท์

3.12.2 การทำงานของจุดหลอดนีออนโคมณาสำค้าหรับแหล่งจ่ายพลังงานแสงอาทิตย์โดยใช้มือแปลงฟลายเบ็คเครื่องรับโทรศัพท์

การออกแบบการสร้างชุดวงจรจุดหลอดนีออน โคมณาสำค้าหรับแหล่งจ่ายพลังงานแสงอาทิตย์โดยใช้มือแปลงฟลายเบ็คเครื่องรับโทรศัพท์ ซึ่งอาศัยหลักการเปลี่ยนพลังงานแสงอาทิตย์ (Solar module) ที่มือแปลงฟลายเบ็คเครื่องรับโทรศัพท์ (Battery Charger Controller) เพื่อขับให้เกิดวงจรแปลงผันไฟครุประจุส่วนเครื่องเก็บประจุแบตเตอรี่ (Battery Charger Controller) ทำให้แรงดันไฟฟ้าเพิ่มขึ้นที่จ่ายเข้ามือแปลงสวิตช์ ซึ่งผู้จัดได้นำเอา (DC-DC Converter) ทำให้แรงดันไฟฟ้าเพิ่มขึ้นที่จ่ายเข้ามือแปลงสวิตช์ ซึ่งผู้จัดได้นำเอา หน้มือแปลงฟลายเบ็คเครื่องรับโทรศัพท์ (Flyback Transformer TV) มาใช้เป็นหน้มือแปลงสวิตช์เพื่อสร้างแรงดันไฟฟ้าด้านเอาต์พุตให้สูงขึ้น (High Voltage) ที่มีการควบคุมด้วยเทคนิคแบบฟีดบัคลิวเอ็ม (PWM-Technique) ด้วยหลักการสวิตช์ (Switch Mode) ไปควบคุมการนำกระแสและสถานะเมืองเหล็ก

ในการสะสมพลังงานของขดลวดไฟฟ้ามาร์ตีต่ำโดยออกไปยังขดลวดซึ่งควรจะมีกระแสไฟฟ้าต่ำ ไม่ต้องให้เป็นไฟฟ้ากระแสตรง ซึ่งค่าของแรงดันไฟฟ้าออกของหม้อแปลงสวิตซ์จะขึ้นอยู่กับค่าความถี่และช่วงเวลาการนำกระแส (Turn-On) ช่วงหยุดนำกระแส (Turn-Off) ของอุปกรณ์อิเล็กทรอนิกส์ที่นำมาใช้ในการทำงานที่สวิตซ์

3.13 การออกแบบการระบายความร้อน

วัตถุประสงค์ของการระบายความร้อนสำหรับอุปกรณ์สารกึ่งตัวนำ คือ การป้องกันไม่ให้อุปกรณ์ที่ติดอยู่ในระบบอิเล็กทรอนิกส์กำลังเสียหายหรือทำงานติดพลาด โดยเฉพาะอุปกรณ์สวิตซ์ เช่น mosfet ไอีบีที ทรานซิสเตอร์และไคลโอด การระบายความร้อนมีหลักการ ให้ลดลงความร้อน ให้กับน้ำสั่งเวลาสั่งที่อยู่รอบข้างเพื่อรักษาให้อุณหภูมิที่ร้อยต่อ (Junction temperature: T_j ในเกินค่าที่กำหนด)

การออกแบบการระบายความร้อนในงานวิจัยนี้มีการใช้อุปกรณ์สวิตซ์ในวงจรดูดหลอดนีออน คือ mosfet IRF 540 และทรานซิสเตอร์ซึ่งจะมีย่านอุณหภูมิทำงาน ตั้งแต่ -50°C ถึง 150°C นั่นคือ ความต้องการระบายความร้อนที่เกิดขึ้นเพื่อไม่ให้อุณหภูมิที่ร้อยต่อของ mosfet IRF 540 มีค่ามากกว่า 150°C

กำลังไฟฟ้าสูญเสียที่อุปกรณ์สวิตซ์จะเกิดจากการสูญเสียขณะสวิตซ์ (Switching loss) ซึ่งจะประกอบด้วยกำลังไฟฟ้าสูญเสียขณะเริ่มน้ำกระแสและเริ่มหยุดนำกระแสและการเปลี่ยนสถานะ จากนำกระแสเป็นหยุดนำกระแส (Turn off switching loss) รวมกับกำลังไฟฟ้าสูญเสียขณะนำกระแส (conduction loss) โดยกำลังไฟฟ้าสูญเสียจะถูกควบคุมให้ให้เหลือนอุปกรณ์สวิตซ์สูงที่สุดเท่าที่สามารถ

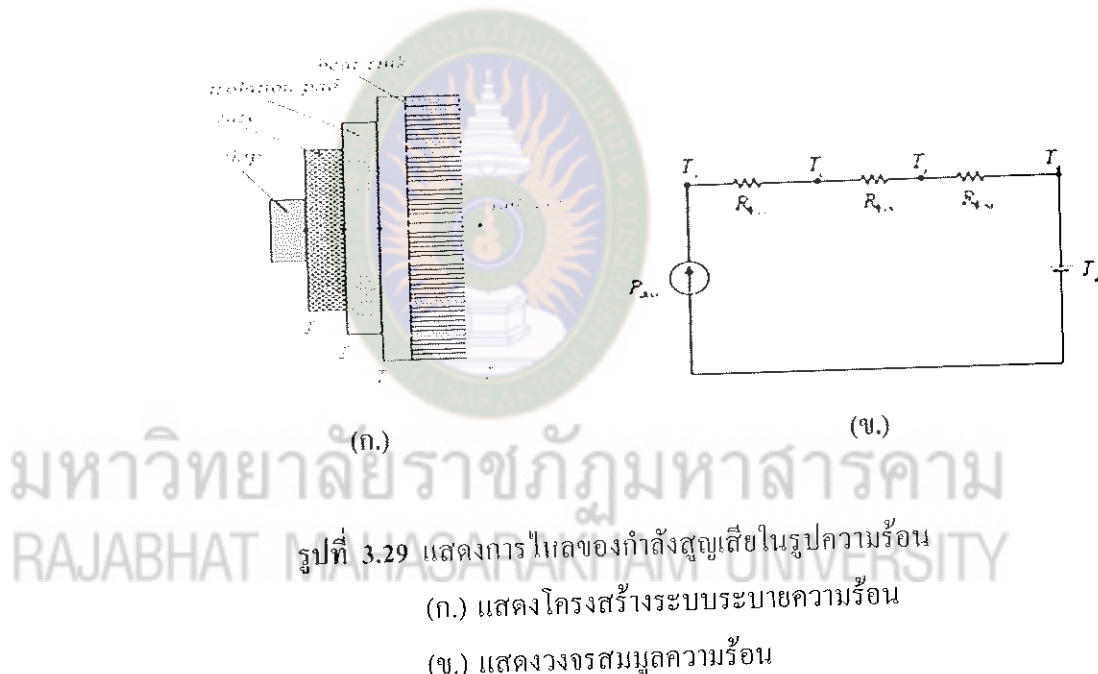
ตารางที่ 3.3 ส่วนระบายความร้อนกับอุณหภูมิและสัญลักษณ์

ส่วนระบายความร้อน	อุณหภูมิ ($^{\circ}\text{C}$)	
	ภาวะอัจฉริยะ	สัญลักษณ์
บริเวณร้อยต่อ	Junction temperature	T_j
บริเวณตัวถัง	Case temperature	T_c
บริเวณแผ่นระบายความร้อน	Heat sink temperature	T_s
อากาศบริเวณห้อง	Ambient temperature	T_a

ตารางที่ 3.4 ความต้านทานความร้อนและสัญลักษณ์

ความต้านทานความร้อน ($^{\circ}\text{C/W}$)	
ระหว่างส่วนประกอบ	สัญลักษณ์
บริเวณตัวถัง	$R_{\theta_{jc}}$
บริเวณแผ่นระบายความร้อน	$R_{\theta_{cs}}$
อากาศบริเวณห้อง	$R_{\theta_{sa}}$

การให้ผลของกำลังไฟฟ้าสูญเสียในรูปความร้อนที่มีอุณหภูมิของแต่ละส่วนไม่เท่ากัน การระบายความร้อนจะเริ่มต้นจากส่วนที่มีอุณหภูมิสูงไปชั้นๆ ส่วนที่มีอุณหภูมิต่ำกว่า ดังแสดงในรูปที่ 3.29 (ก)



จากรูป 3.29 และตารางที่ 3.4 (ก.) และ (ข.) จะได้ค่าความต้านทานความร้อนระหว่างรอยต่อภายในตัวอุปกรณ์สวิตชิ่ง ดังในสมการที่ (3.23)

$$R_{\theta_{ja}} = R_{\theta_{jc}} + R_{\theta_{cs}} + R_{\theta_{sa}} \quad (3.23)$$

สำหรับอุณหภูมิรอยต่อ (T_j) จะหาได้จากกำลังไฟฟ้าสูญเสียรวม (P_d) มีหน่วยเป็นวัตต์ ดังในสมการที่ (3.24) เป็นค่าที่กำหนดโดยบริษัทผู้ผลิต สำหรับอุณหภูมิรอยต่อสามารถหาได้โดย

$$T_j = P_d (R_{\theta_{jc}} + R_{\theta_{cs}} + R_{\theta_{sa}}) + T_a \quad (3.24)$$

ตารางที่ 3.5 ความต้านทานความร้อนและสัญลักษณ์

สัญลักษณ์	พารามิเตอร์	ค่าต่ำสุด	ค่าทั่วไป	ค่าสูงสุด	หน่วย
$R_{\theta_{jc}}$	รอยต่อ กับตัวถัง			1.7	°C/W
$R_{\theta_{cs}}$	ตัวถังกับแผ่นระบบความร้อน		0.5		°C/W
$R_{\theta_{sa}}$	แผ่นระบบความร้อน กับอากาศ			62	°C/W

1. การออกแบบห้องเผื่อนระบบความร้อน จากค่าคุณลักษณะสมบัติที่กำหนด โดยบริษัทผู้ผลิต มอสเก็ต เบอร์ IRF 540 มีการสูญเสียรวมเท่ากับ 30 วัตต์ และมีความต้านทานความร้อนระหว่างรอยต่อ กับตัวถัง = $1.7 \text{ } ^\circ\text{C/W}$ ความต้านทานความร้อนระหว่างตัวถัง กับแผ่นระบบความร้อน $0.5 \text{ } ^\circ\text{C/W}$ ให้มอสเก็ตทำงานที่ $100 \text{ } ^\circ\text{C}$ โดยถูกออกแบบให้ทำงานที่อุณหภูมิห้อง (T_a) = $30 \text{ } ^\circ\text{C}$ ภายใต้เงื่อนที่ไม่มีพัดลมดูดอากาศระบบความร้อน

2. ความต้านทานความร้อน $R_{\theta_{sa}}$ จากสมการที่ 3.24 หาก $R_{\theta_{sa}}$ ได้จาก

$$T_j = P_d(R_{\theta_{jc}} + R_{\theta_{cs}} + R_{\theta_{sa}}) + T_a$$

$$100 = 30(1.7 + 0.5 + R_{\theta_{sa}}) + 30$$

$$R_{\theta_{sa}} = 0.13 \text{ } ^\circ\text{C/W}$$

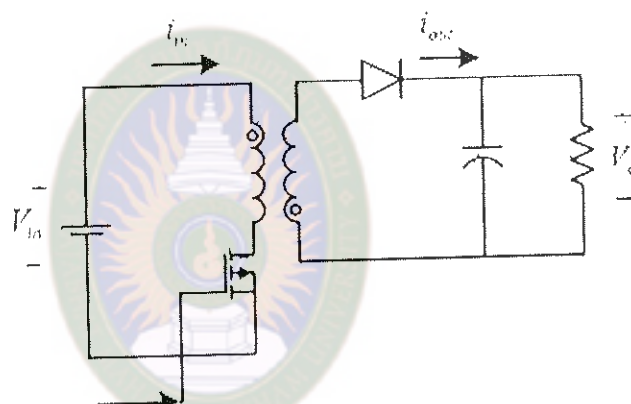
มหาวิทยาลัยราชภัฏมหาสารคาม RAJABHAI MAHASARAKHAM UNIVERSITY

Eat sink No.	1	2	3	4	5	6	7	8	9	10	11	12
$R_{\theta_{sa}} (\text{ } ^\circ\text{C/W})$	3.2	2.3	2.2	0	2.1	1.7	1.3	1.3	1.25	1.2	0.8	0.65
Vol. (cm ³)	76	99	181	0	198	298	435	675	608	634	695	1,311

จากการคำนวณหากความต้านทานความร้อนระหว่างแผ่นระบบความร้อน กับอากาศ อุณหภูมิห้อง ได้ค่า $0.13 \text{ } ^\circ\text{C/W}$ เมื่อเทียบค่าในตารางที่ 3.6 เลือกแผ่นระบบความร้อนหมายเลขอันดับที่ $R_{\theta_{sa}} = 3.2 \text{ } ^\circ\text{C/W}$ ค้างนี้ จึงเลือกแผ่นระบบความร้อนขนาด 76 ตารางซูบิกเมตร

3.14 การวิเคราะห์วงจรสร้างสัญญาณควบคุม

โดยทั่วไปแรงดันไฟตรงที่จ่ายเข้าวงจรสวิตชิ่งจะมีการควบคุมช่วงเวลา t_{ON} และ t_{OFF} ของอุปกรณ์สวิตชิ่งที่ทำมาจากการกังวลตัวนำ เช่น ทرانซิสเตอร์หรือเฟติกจะใช้พลัสดีเจลี่ยมเป็นตัวเปิด-ปิดแรงดันออกของวงจรสวิตชิ่งจึงเป็นอยู่กับอัตราส่วนของสัญญาณพลัสดีต่อช่วงเวลาที่เรียกว่า ดิวตี้ไซเกล โดยช่วงที่มีพลัสดี คือ เวลา t_{ON} เนื่องจากหลักการกำเนิดแรงดันไฟสูงของฟลัตตี้เบ็ค เครื่องรับโทรศัพท์สัญญาณอินฟูทที่ขับเบสของทرانซิสเตอร์ต้องมีสัญญาณพลัสดีและช่วงเวลาที่ใช้ควบคุมเวลาการเปิด-ปิดอุปกรณ์สวิตชิ่ง ในส่วน t_{ON} จะเป็นพลัสดีที่จะกำหนดเวลาการต่อสวิตช์ให้พลัสดีงานถูกสะท้อนไว้ในขดลวดหนึ่งอแปลงฟลัตตี้เบ็ค ส่วนช่วงเวลา t_{OFF} จะถูกกำหนดเวลาการตัดสวิตช์ให้ทดสอบถ่ายพลัสดีงานอุดกมาน ดังรูปที่ 3.30



มหาวิทยาลัยราชภัฏมหาสารคาม
รูปที่ 3.30 แสดงวงจรสวิตชิ่งที่ใช้มอเตอร์เป็นตัวขับ
RAJABHAT MAHASARAKHAM UNIVERSITY

3.15 หลักการทำงานของวงจรสวิตชิ่ง

อุปกรณ์สวิตชิ่งจะทำหน้าที่เป็นสวิตช์อิเล็กทรอนิกส์มีโหลดการทำงานคือ โใหม่คั่นนำกระแสและหยุดนำกระแส มีหลักการทำงานคือเมื่อสวิตช์นำกระแสแรงดันไฟฟ้าดันออกจะมีค่าเท่ากับแรงดันไฟฟ้าด้านเข้า ($V_u = V_s$) และเมื่อสวิตช์ไม่นำกระแสแรงดันไฟฟ้าดันออกจะมีค่าเท่ากับศูนย์ หรือ ($V_u = 0$)

ช่วงเวลาในการนำกระแสและหยุดนำกระแสจะได้สัญญาณแรงดันไฟฟ้าด้านออกเป็นพลัสดี ดังในรูปที่ 3.30 ซึ่งสามารถหาค่าเฉลี่ยหรือค่าของแรงดันไฟฟ้ากระแสตรงด้านออก ได้จากสมการที่ (3.25)

$$V_o = \frac{1}{T} \int_0^T V_o(t) dt$$

$$V_o = \frac{1}{T} \int_0^{DT} V_s dt$$

$$V_o = V_s D \quad (3.25)$$

เมื่อ V_s = แหล่งจ่ายไฟฟ้ากระแสตรง

D = ค่าดีไซเกิล

จากสมการที่ (3.25) จะพบว่า ค่าแรงดันไฟฟ้ากระแสตรงทางด้านออกจะถูกควบคุมได้จากการปรับค่าดีไซเกิล (Duty cycle หรือ Duty ratio: D) ซึ่ง D หมายถึง อัตราส่วนของช่วงเวลาที่สวิตช์นำกระแสต่อช่วงเวลาหนึ่ง kab การสวิตช์ มีความสัมพันธ์ ดังสมการที่ (3.26)

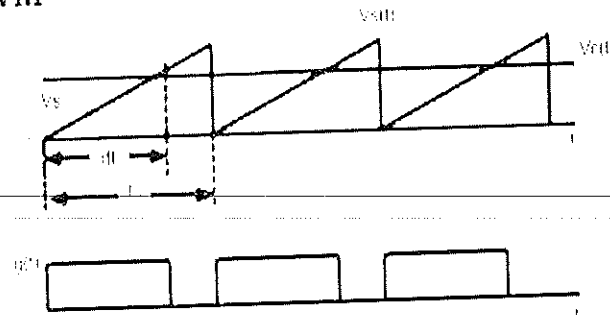
$$D = \frac{t_{on}}{t_{on} + t_{off}} = \frac{t_{on}}{T} \quad (3.26)$$

$$t_{on} = DT$$

$$t_{off} = (1 - D)T$$

มหาวิทยาลัยราชภัฏมหาสารคาม
RAJABHAT MAHASARAKHAM UNIVERSITY

PWM



รูปที่ 3.31 แสดงรูปคือสัญญาณความเวลาเอาท์พุต

3.16 วิธีการควบคุมสัญญาณพัลส์และความเวลาเพื่อคงค่าแรงดัน มีอยู่ 3 แบบ

1. แบบการให้เวลา t_{ON} คงที่แล้วเปลี่ยนแปลงเวลา t_{OFF}
2. แบบการให้เวลา t_{OFF} คงที่แล้วเปลี่ยนแปลงเวลา t_{ON}
3. แบบการใช้ความถี่คงที่แล้วเปลี่ยนตัวค่าตี่ไฟเกล

งานวิจัยนี้ได้เลือกใช้วิธีการควบคุมสัญญาณแบบการใช้ความถี่คงที่แล้วเปลี่ยน ค่าดิจิต์ไฟเกล วิธีนี้จะกำหนดความถี่ของหัลส์ที่ใช้ควบคุมการสวิตช์ไว้ค่าหนึ่งที่มีความเวลาสัญญาณคงที่ การคงค่าแรงดันออกจะทำโดยการปรับอัตราส่วนของหัลส์ t_{ON} ต่อห้องว่าง t_{OFF} (ดิจิต์ไฟเกล) ให้พอเหมาะสมกับแรงดันเอาต์พุต เพื่อเพิ่มหรือลดระดับการใบแอลอสให้ทราบซิสเตอร์รีบการทำงาน t_{ON} เร็วขึ้นหรือช้าลง หรืออาจจะใช้วิธีผสมหัลส์ทางความกว้างที่เรียกว่า พัลส์วิดท์ มอคูลัชชัน หรือ PWM (Pulse width modulation) เพื่อให้เวลาหนาแน่นทำงานในคลาดและเวลาการเหนี่ยวนำแรงดันเอาต์พุตเปลี่ยนแปลงอย่างเหมาะสม ซึ่งจะทำการตรวจสอบข้อความผิดพลาดของแรงดันและกระแสทั้งด้านอินพุต และโผลดแล้วนำมานำเป็นตัวควบคุม PWM ซึ่งก็จะสามารถควบคุมแรงดันเอาต์พุตออกให้ได้ค่าคงที่ได้โดยจะมีช่วงเวลาตอบสนองต่อการควบคุมเร็วมากประมาณ 1 ความเวลาของความถี่ที่ใช้เท่านั้น แนวคิดหลักการของการออกแบบในการใช้ความถี่คงที่เพื่อการส่งผ่านกำลังของหม้อแปลงด้วย spanning แม่เหล็กไฟฟ้าได้อย่างมีประสิทธิภาพสูงสุด ซึ่งสามารถออกแบบความถี่ที่ใช้ควบคุมให้เหมาะสมรวมทั้งลดการสูญเสียที่เกิดขึ้นในหม้อแปลง

งานวิจัยนี้ได้นำเอา ไอซี เบอร์ TL 494 มาใช้ในการออกแบบเพื่อใช้ควบคุมการทำงานของคอนเวอร์เตอร์ โดยทำงานด้วยโหมดควบคุมจากแรงดัน

3.17 ไอซีเบอร์ TL 494 สำหรับโหมดควบคุมจากแรงดัน

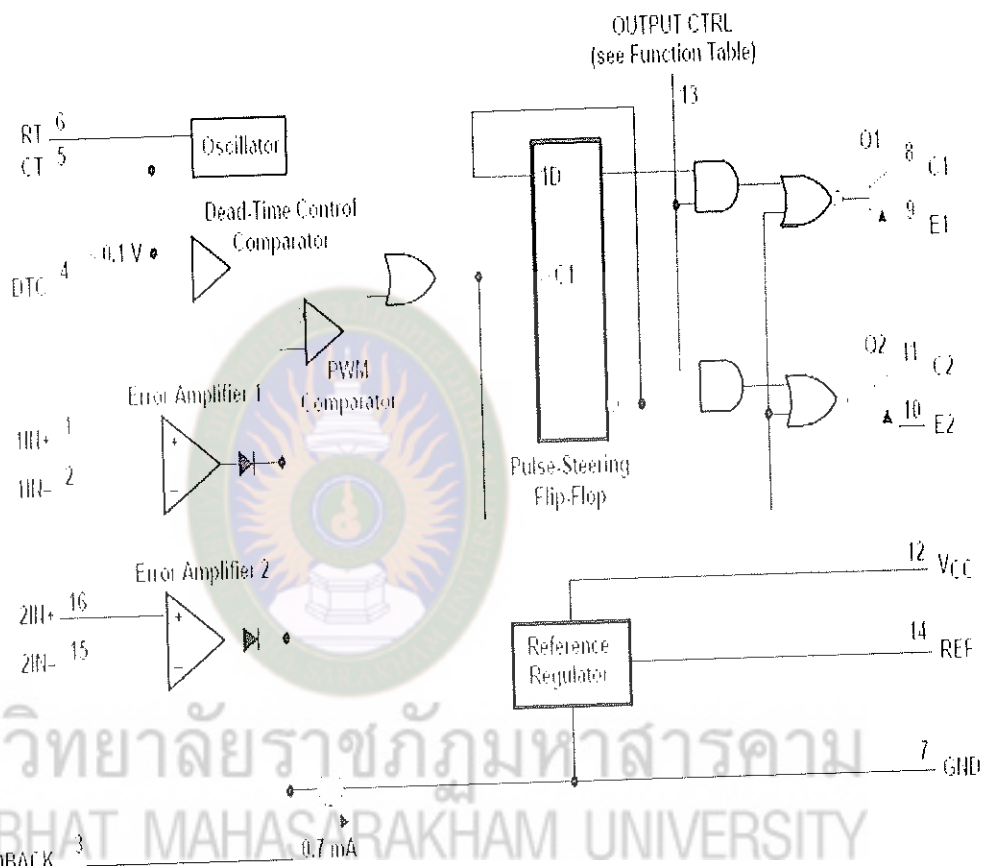
3.17.1 การออกแบบวงจรควบคุมสัญญาณ PWM โดยใช้ไอซีเบอร์ TL 494

การออกแบบวงจรไอซี TL 494 ซึ่งเป็นไอซีสำหรับที่สามารถนำมาออกแบบได้ 4 ลักษณะ ดังนี้

1. แบบเลือกสัญญาณ 1 เอาต์พุต
2. แบบมีสัญญาณเอาต์พุตเป็น เฟลส์สัญญาณเดียวกับสัญญาโนินพุต
3. แบบสัญญาณเอาต์พุตแบบ single ended configuration
4. ออกแบบความถี่ได้ 20 kHz – 150 kHz

ไอซีเบอร์ TL 494 เป็นไอซีที่ออกแบบมาเพื่อใช้ควบคุมการทำงานของคอนเวอเรเตอร์ โดยทำงานด้วยโหนมควบคุมจากแรงดัน ซึ่งจะได้นำมาเป็นตัวอย่างการทำงานสำหรับวงจรควบคุมด้วยวิธีควบคุมจากแรงดัน โครงสร้างภายในและการจัดขาของไอซีเบอร์ TL 494 แสดงในรูปที่ 3.32 การทำงานของไอซีจะเป็นดังนี้

functional block diagram

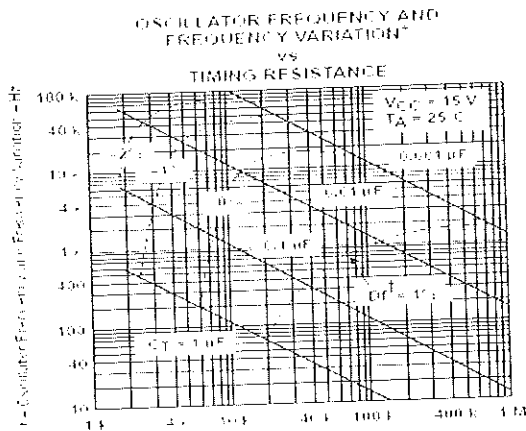


รูปที่ 3.32 แสดงการขัดโครงสร้างภายในและการขัดขาของไอซี TL 494 (ที่มา: Motorola)

3.17.2 การออกแบบการกำหนดความเวลาในการทำงาน

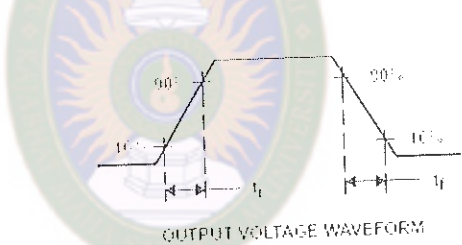
วงจรของไอซี TL494 เป็นวงจร PWM ที่มีความเด่นคงที่ คือเวลาการทำงานของเอตัฟลัตส์กำหนดโดยค่าของ R_T และ C_T จากภายนอกที่ขา 6 และขา 5 ของไอซี ค่าความเวลาการทำงานจะกำหนดได้จาก

$$T = \frac{R_T C_T}{1.1} \quad (3.27)$$



รูปที่ 3.33 แสดงความสัมพันธ์ของค่า R_t TIMING RESISTANCE (Ω)

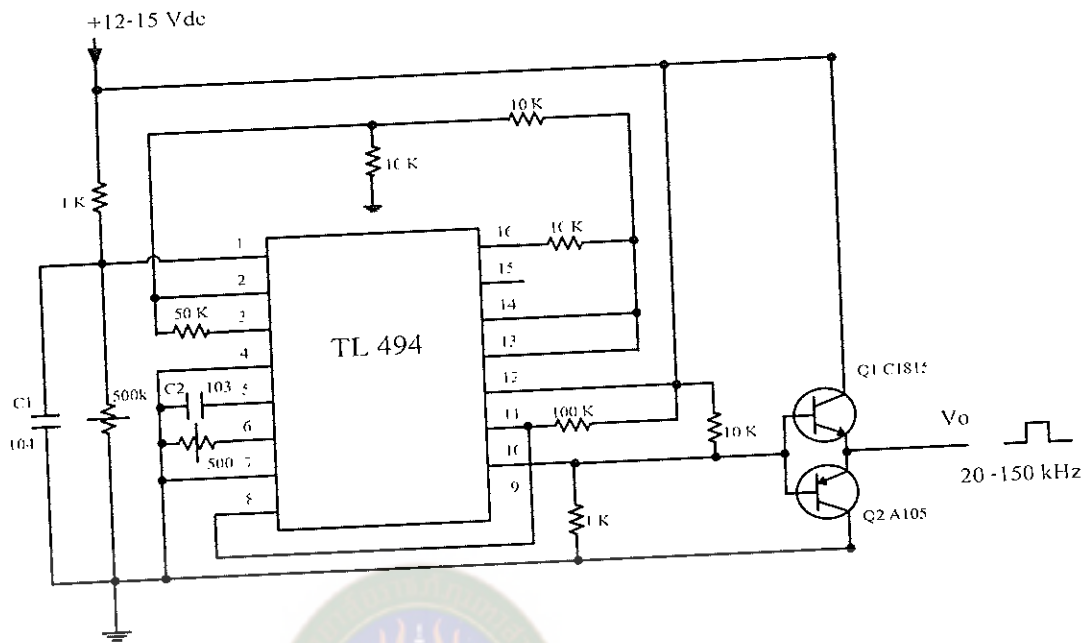
ในการกำหนดความถี่เอาร์พุตที่ต้องการหากค่าตัวความด้านท่านในการปรับความถี่ จะต้องกำหนด
ค่าความถี่และค่าความจุของค่าปั๊ชิเตอร์แล้วนำค่านั้นวน จากสมการที่ 3.27



มหาวิทยาลัยราชภัฏมหาสารคาม
รูปที่ 3.34 แสดงรูปภาคีนสัญญาณความเวลาเอาไว้ชัด
RAJABHAT MAHASARAKHAM UNIVERSITY

3.17.3 การกำหนดค่าเวลาเพื่อ T_D

ไอซี TL494 สามารถให้สัญญาณค่าเวลาเพื่อ บ่งบอกว่างได้ใช้การต่อแรงดันระหว่าง 0 ถึง 3.3 โวลต์ ที่ขา 4 ของไอซี อย่างไรก็ตามหากแรงดันที่ขา 4 มีค่าเท่ากับ 0 โวลต์ ก่าเวลาเพื่อต่ำสุดของ ไอซีจะไม่ต่ำกว่า 4 เปอร์เซ็นต์ของค่าความลากการทำงานเนื่องจากมีแรงดันอุปกรณ์ 120 มิลลิโวลต์ ต่ออยู่ภายในตัวนั้นช่วงเวลา t_{on} สูงสุดของคอนเวอร์เตอร์ที่ได้จากไอซีจะเท่ากับ 48% ของค่าความเวลา เมื่อต่อขา 13 (output control) เข้ากับขา 14 ($+5V_{cc}$) และมีค่าเท่ากับ 96% ของค่าความเวลา เมื่อ ต่อขา 13 ลงกราวด์ ไอซี TL494 ต้องการไฟเลี้ยง V_{cc} ในช่วงระหว่าง 7 ถึง 40 โวลต์ มีแรงดันข้างอิง ที่ขา 13 ลงกราวด์ 5 โวลต์ และสามารถจ่ายกระแสได้ถึง 10 มิลลิแอมป์ เพื่อใช้กับวงจรภายนอกได้ โดยมีค่า ภายใน V_{ref} ความถูกต้อง $\pm 1.5\%$ ความคลาดเคลื่อนทางอุณหภูมนี้ค่าน้อยกว่า 50 มิลลิโวลต์ เมื่อทำงานในช่วง 0 ถึง 70°C



รูปที่ 3.35 แสดงวงจรควบคุมสัญญาณ PWM ที่ได้จากการออกแบบ

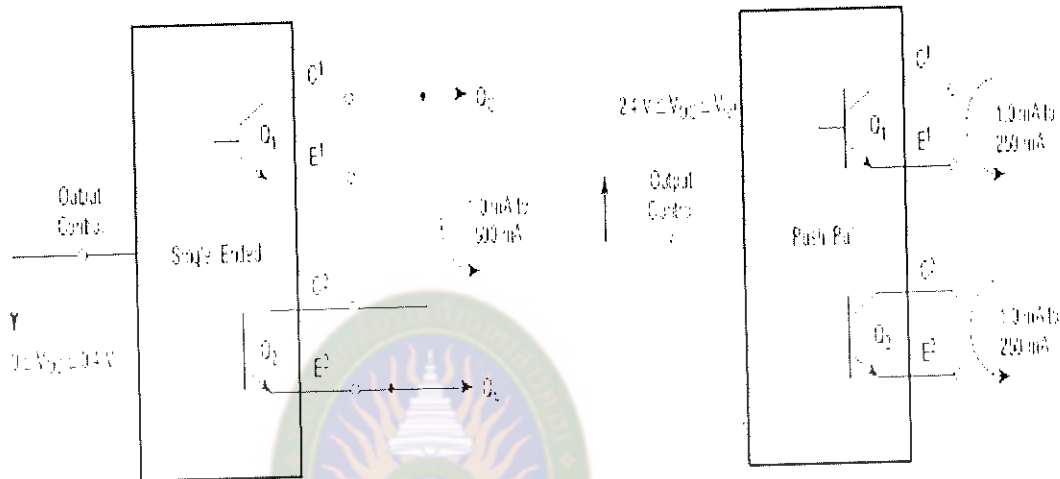
มหาวิทยาลัยราชภัฏมหาสารคาม
RAJABHAT MAHASARAKHAM UNIVERSITY

รูปที่ 3.36 แสดงสัญญาณเอาต์พุต ที่ขา 10 ที่ได้จากการควบคุมสัญญาณ PWM โดยใช้ไอซีเบอร์ TL 494

3.17.4 การทำงานของวงจรควบคุมสัญญาณ PWM

การทำงานของวงจรที่ได้ออกแบบโดยใช้ไอซี ขาที่ 1 ต้องทำหน้าที่ตรวจเช็คแรงดันที่บุกเซนเซอร์ (sensor) การออกแบบนี้ไม่มีการตรวจจับสัญญาณจึงเอาแรงดัน V_{cc} มาเปรียบเทียบกับแรงดันที่ขา 2 จะเป็นตัว feedback ของสัญญาณเอาต์พุตโดยผ่าน $R_5 = 50\text{ K}$ และที่ขา 2 นี้จะไปเอาแรงดันที่ขา 14 ให้วงจรแบ่งแรงดันที่ขา 3 เป็นเอาต์พุตของไอซี Opamp Error Amp ซึ่งจะทำ Ref. output ที่ขา 14 ให้วงจรแบ่งแรงดันที่ขา 3 เป็นเอาต์พุตของไอซี Opamp Error Amp ซึ่งจะทำหน้าที่ป้อนกลับ (feed back) ของสัญญาณ PWM ที่ได้ในการปรีริบบ์เทียบขาที่ 5-6 ทำหน้าที่สร้าง

วงจร O_{sc} โดยใช้หลักการความสัมพันธ์ของตัวดำเนินงานและตัวเก็บประจุ (RC Time) ดังรูปที่ 3.37 ไอซี TL 494 เป็นไอซีแบบ Open Collector Transistor ซึ่งสามารถจะกำหนดเอาต์พุตเป็นแบบใดก็ได้ในการออกแบบนี้ใช้เป็นแบบ 1 เอาต์พุตที่ขา 10 โดยที่ขา 9 ซึ่งเป็นเอาต์พุตขาที่ 15 เป็นขาสัญญาณ High จะเลือกต่อลงกราว์ดหรือไม่ต่อ ก็ได้ ออกแบบนี้ไม่นำมาใช้ ส่วนขาที่ 15 เป็นขาสัญญาณ High จะเลือกต่อลงกราว์ดหรือไม่ต่อ ก็ได้



รูปที่ 3.37 แสดงการเลือกใช้เอาต์พุตของ ไอซี TL 494

จากรูปที่ 3.37 กำหนดเอาต์พุตที่ขา E โดยการต่อขา rwm กันของ transistor Q1, Q2 และที่ขา C ต่อ กับแรงไฟ V_{cc} จึงสังเกตเห็นว่า ที่ขา 8, 11 จะรวมกันและมีค่า R = 100 Ω เป็นตัวควบคุมกระแส IC ของ Q1, Q2 ที่ขา 13 มีความสำคัญมาก เพราะเป็นตัวกำหนด PWM ทำให้ Q1, Q2 ทำงานตามต้องการ แต่เพราะขาที่ 13 จะต่อ กับ AND ถ้าเรากำหนดตามตารางที่ 3.7 จะได้อาต์พุต ดังนี้

ตารางที่ 3.7 การกำหนดสัญญาณเอาต์พุตที่ขา 13 ของ ไอซี TL 494

กำหนดขา 13	สัญญาณเอาต์พุต
Ground	Q1, Q2 มีสัญญาณไฟสเดียว กัน
V _{cc}	Q1, Q2 มีสัญญาณต่างไฟสกัน

จากการออกแบบสามารถเลือกการปรับค่าคิวตี้ไซเกล ได้สองวิธี ได้แก่

- เลือกต่อ ขาที่ 13 ลง Ground Out put ของ IC จะสามารถปรับ duty ได้ถึง 96%
- เลือกต่อ ขาที่ 13 เข้า V_{cc} Out put ของ IC จะสามารถปรับ duty ได้ไม่เกิน 50%

การออกแบบวงจรควบคุมสัญญาณ PWM โดยใช้ไอซีเบอร์ TL 494 นอกจากระดับความคุณได้ทั้งความถี่ และตัวต้านทานอัตโนมัติที่มีความสำคัญก็คือการปรับกำลังแรงดันไฟฟ้าของสัญญาณพัลส์ให้มีความเหมาะสมกับอุปกรณ์สวิตช์ซึ่งเท่าไหร่ให้เกิดปรากฏการณ์ Second Breakdown กับอุปกรณ์สวิตช์ สำหรับภาคกำลัง การควบคุมสัญญาณ PWM สามารถควบคุมได้ ดังรูปที่ 3.38 ถึง รูปที่ 3.40

Pot 1

Pot 1

Pot 1

รูปที่ 3.38 แสดงสัญญาณควบคุมการสวิตช์โดยการปรับความถี่ของสัญญาณ

Pot 2

Pot 2

Pot 2

มหาวิทยาลัยราชภัฏมหาสารคาม RAJABHAT MAHASARAKHAM UNIVERSITY

รูปที่ 3.39 แสดงสัญญาณควบคุมการสวิตช์โดยการปรับตัวต้านทานของสัญญาณ

Pot 3

Pot 3

Pot 3

รูปที่ 3.40 แสดงสัญญาณควบคุมการสวิตช์โดยการปรับแอลจูดของสัญญาณ